Statyuahr N3BECTИЯ

АКАДЕМИИ НАУК АРМЯНСКОЙ ССР

Sthubyuuuu арыльфальшьгр исгри СЕРИЯ ТЕХНИЧЕСКИХ НАУК

theyur

ÉPEBAH

Журнал издается с 1948 г. Выходит 6 раз в год на русском языме

ы иничецицы чирьчкы

РЕДАКЦИОННАЯ КОЛЛЕГИЯ

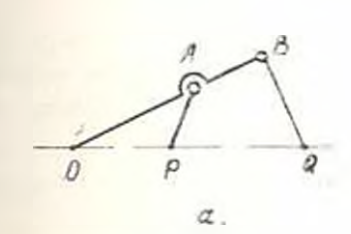
Касыян М. В. (отнет. редактор), Логин Г. Т. (зам. ответ. редактора), Алексеевский В. В., Акопик Р. Е., Задоян М. А., Гинаажен В. В. (зам. ответ. редактора), Саркасян Ю. Л., Стакин М. Г., Тер-Азарыя И. А.
Ответственный секретары Степанян З. К.

Издательство АН АрмССР.
 Изнестия АН АрмССР (сери∗ техи, наук), 1988.

C. S. FAPAHRII

ОБ ИНВЕРСОРНЫХ ГРУППАХ И ОБЩЕМ ПРИНЦИПЕ ОБРАЗОВАНИЯ МЕХАНИЗМОВ ИНВЕРСОРОВ

Механизмы с двумя степенями свободы, в основе действия которых лежит принцип инверсии — геометрического преобразования кривых по закону $r_1 \cdot r_2 = \text{const} - h$, где r_3 , r_4 раднус — векторы ведущей и ведомой точек механизма, называют инверсорами. Одно основных свойств этих механизмоз- возможность преобразования авижения ведущей точки по дуги окружности в теоретически точное примолинейное движение ведомой. Анализ работ ([1, 2] и др.). посвященных механизмам инверсоров, показывает, что в основу создания кажлой кинематической схемы была заложена та или иная частная закономерность и до настоящего времени не описан еданый прянции образования этих механизмов. Некоторые из предложенных ехем существенно не отличаются друг от друга в являются частимми случаями общих схем. Естественно, возникает вопрос, нет ли внутренней связи между различными кинематическими схемами инверсоров, не свизаны ли они между собой, кроме общего математического свойства выполнения преобразования инверсии еще и общим правилом образования структурных схем, подобно тому, как из групи. Ассура формпруются механизмы произвольной структуры.



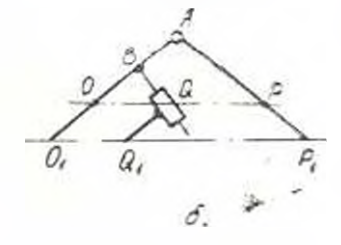


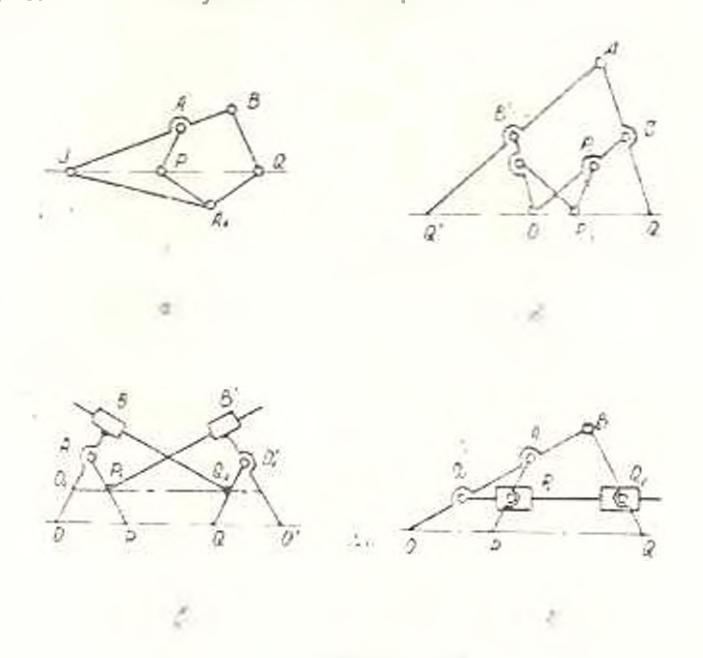
Рис. 1.

Трехзвенную кине тать тескую дель с инзшими парами парозем инверсорной группой, если из трех се точек O, P, Q, принадлежащих разним звеньям, две (P,Q) можно перемещать так, чтобы определяемая ими прямая постоянно проходяла через гретью точку (O) і выполнялось условие $\overline{OP} \cdot \overline{OQ} = \text{const} = h$. Инверсорные группы в зависимости от числа поступательных пар обозначим соответственно $\frac{1}{100}$. Точки P и Q, реализующие преобразование инверсии отпосительно точки Q, назовем функциональными, звенья, несущие точки P и Q пов дками (AP и BQ на рис. Та), звено OB с центром инверсии O—базменым зреном, а степень инверсии h—степенью группы

Композивию двух инверсорных групп запишем в виде суммы соответствующих символов, например, i_0+i_1 . Если такая композиция приводит к механизму инверсора, то запишем символическое равенство, например: $i_0+i_1=I_1$, где I обозначает механизм инверсора, а инлексы указывают на число поступательных пар в соответствующих непях.

Теорема 1. Для того, чтобы трехвиенная цель с двумя вращательными парами (рис 1a) была инверсорной группон t_0 , необходимо и достаточно, чтобы размеры ее зненьей удовлетворяли условию ad-cb=0, или, что то же самое, b|a=d|c=k, где a=OA, b=OB, c=AP, d=BQ, а k—коэффициент пропоринональности. При этом степень группы t_0 определяется по формуле h=OP/OQ=ab-cd, что можно записать также в виде h=k (a^*-c^*).

Теорема 2. Для того, чтобы трехзвенная цень с одной вращательной и одной поступательной парами (рис. 1 б) была инверсорной группой i_1 , необходими и достаточно, чтобы в базисном звене OAB ось поступательной пары была перпендикулярна к раднус-вектору центра пращательной пары $(BQ \perp OA)$ и соблюдалось условие OA = 4P. При этом h = 2a(b-l), где l = 2Dлина перпендикуляра от функциональной точки O_1 до оси поступательной пары.



Par. 2.

Прямолицейный ры гат с двумя поступательными парами (O₁, P₁, Q₁ парам. 2. г. от весен в инверсорным группам условия. г. к. такая цень, котя и по определению является инверсорной группой (/₂), не имеет определенную степень, вследствие чего может комбинироваться с группами і₀, і₁ любой степени, но не с аналогичной группой і₂.

Теоремы образования мехапизмов инверсоров базируются на следующей лемме: для того, чтобы в группах i_2 , i_1 функциональные точки

- Р и Q реализовали пресбразова не инверсии, необходамо и достатов но, итобы перемещаясь, и и оставались на прямой, продиджией нерез центр инверсии. При этом подразумевается, что начальные положения поводков не являются особыми (параплельность AT и BQ на рис. Та или совпадение OA и AP на рис. То. Чтобы от трех и движной инверсорной группы перейти к двухнодвижному механизму инверсора, тостаточно ввести любую связь, бести изающую коллинеарность OP и OQ. Этого можно добиться, комбинируя две инверсориме группы следующими способами.
- 1. Аксиальное соединение инверсорных срупп. Если инверсорные группы одной степени, то их центры инверсии и футк гиснальные точки можно совмещать. Соединение в таком положения инверсорных групп с вомощью вращательных пар газовем аксиальным. На вие 2а покаци пример ексиального для премя, в поруж можно записать так: $I_m + i_{n|A} = I_{m+1}$ тас m = 0, 1, 2, n = 0, 1, 2 (m а n ис принимают одновременно значение два), а A означает аксиальное спединение.
- 2. Последовательное соединение инверсориех срупп. Последовательным иззовем такое шарининое с единение инверсорных групп, при котором общими являются доста по ерени О и дна и функциональных точек, которую для определ що та обходалим Р. При этом, если с помощью некаторой связи обе- есять плане, рясть точек О. Р. Q. Q', to corracilly herms QP/QQ = c inst = h, QP/QQ = const = h', carдовательно, точки Q ч Q' будут везаны между гоб по образованием подобия с коэффилиентом := п Эту связь можно осуществить без введения дололинтельного за в, е и базясног васно и одил на поводков одной грузаы образует с аналогичными звень ими другой параялелограмм (точнее четопилу за втографа), Такие соединения (рис. 25). реализующие преобразования и под π и мену π ами P, Q и P, Q и подобия между Q. Q', назовем пледовательно-изитографиыми. Для иих справедлява теорема, которую можно записить так: $[i_a + l_{n,p}] =$ = I пре п по или 1 при правачает последова ельно-пантографное соединение.
- 4. Пара. Прямая, проведенная из игроспеция польки O_1 ба вст го звена $O\Lambda$ нарадлельно функциональной оси OPQ (рас I=6), пере екает поводым ствующих групп в I=1 игроспеции перемо на отрезян OP_1 и OQ_2 , со яветственно припориноп линые расстояниям

OP и OQ. В силу этого $OP_1 \cdot OQ_1 = {\rm const} = h_1$. Примения относительно новой группы, определяемой точкама O_i , P_1 , Q_i , любую из предыдущих трех форм соединения, получим схемы нараллельного соединения инверсорных групп, для которых справедлива теорема: $|i_m+i_n|_D=l$ где m=0,1,2,n=0,1,2 (m и n одновременно не равны двум), а D означает дезакснальное соединение. На рис. 2 г показан пример дезакснального соединения двух инверсорных групп— I_0 и I_1

Указанные четыре вида композиции инверсорных групп (включая также их частные виды), дадут свыше 100 схем, из которых нам известны 10. Множество полученных основных схем можно значительно расширить, если с номощью стереографической проекции получить также сферические апалоги указанных механизмов.

Кир фал. ЕрПП им К. Маркса

4, V 1986

Մ ԳԱՐԱՆՅԱՆ

ԻՆՎԵՐՍՈՐԱՅԻՆ ԽՄԲԵՐԻ ԵՎ ՆՐԱՆՑ ՄԵԽԱՆԻԶՄՆԵՐԻ ԿԱԶՄԱՎՈՐՄԱՆ ԸՆԳՀԱՆՈՒՐ ՍԿԶԲՈՒՆՔԻ ՄԱՍԻՆ

Ամփոփում

Տրվում է ինվերսորային իւմբերի և նրանց առանցքային, Հաջորդական, հայելային և դուդահեռ միացումների գաղափարը։ Ձնակնրպվում են Թեորեմներ, որոնց համաձայն նշված միացումներից դանկացածի դեպքում կազմավորվում է ինվերսորային մեխանիզմ. Այդպիսի մեխանիզմի հայտնի սխնմաները կազմում են այն բազմության մոտ տասներորդ մասը, որն առաջանում է ընդհանուր սկզբունքի կիրառման դնպքում։

ЛИТЕРАТУРА

- Анторолевский И. И. Теория механизмоп для поспроизведения плоских кривых М. изд зо АН СССР, 1959. 254 с.
- Дийксман Е. А. Строгое соответствие между новыми и старыми паверсорами // Тр. Амер Общ. инж. мех. Конструирование и технология жашиностроения.— 1971 —№ 1.—С. 276—281.

Пла. АП АрмССР (сер. ГН), п Х1.1, № 6, 1988

ЭЛЕКТРОТЕХНИКА

М. А КАРАПЕТЯН

ПЕРЕХОДНОЕ ЭЛЕКТРИЧЕСКОЕ ПОЛЕ В МОНОДИСПЕРСНОИ СИСТЕМЕ СО СФЕРОИДАЛЬНЫМИ ВКЛЮЧЕНИЯМИ ПРИ УЧЕТЕ ПОВЕРХНОСТНОЙ ПРОВОДИМОСТИ

Расчет переходного электрического поля а дисперскых системах в [1, 2] был осуществлен с учетом диэлектрических проинцаемостей в, и объемных проводимостей у леществ компонентов. Однако в ряде случаев весьма важно с проводимость излючения проводимость и проводимост

OP и OQ. В силу этого $OP_1 \cdot OQ_1 = {\rm const} = h_1$. Примения относительно новой группы, определяемой точкама O_i , P_1 , Q_i , любую из предыдущих трех форм соединения, получим схемы нараллельного соединения инверсорных групп, для которых справедлива теорема: $|i_m+i_n|_D=l$ где m=0,1,2,n=0,1,2 (m и n одновременно не равны двум), а D означает дезакснальное соединение. На рис. 2 г показан пример дезакснального соединения двух инверсорных групп— I_0 и I_1

Указанные четыре вида композиции инверсорных групп (включая также их частные виды), дадут свыше 100 схем, из которых нам известны 10. Множество полученных основных схем можно значительно расширить, если с номощью стереографической проекции получить также сферические апалоги указанных механизмов.

Кир фал. ЕрПП им К. Маркса

4, V 1986

Մ ԳԱՐԱՆՅԱՆ

ԻՆՎԵՐՍՈՐԱՅԻՆ ԽՄԲԵՐԻ ԵՎ ՆՐԱՆՑ ՄԵԽԱՆԻԶՄՆԵՐԻ ԿԱԶՄԱՎՈՐՄԱՆ ԸՆԳՀԱՆՈՒՐ ՍԿԶԲՈՒՆՔԻ ՄԱՍԻՆ

Ամփոփում

Տրվում է ինվերսորային իւմբերի և նրանց առանցքային, Հաջորդական, հայելային և դուդահեռ միացումների գաղափարը։ Ձնակնրպվում են Թեորեմներ, որոնց համաձայն նշված միացումներից դանկացածի դեպքում կազմավորվում է ինվերսորային մեխանիզմ. Այդպիսի մեխանիզմի հայտնի սխնմաները կազմում են այն բազմության մոտ տասներորդ մասը, որն առաջանում է ընդհանուր սկզբունքի կիրառման դնպքում։

ЛИТЕРАТУРА

- Анторолевский И. И. Теория механизмоп для поспроизведения плоских кривых М. изд зо АН СССР, 1959. 254 с.
- Дийксман Е. А. Строгое соответствие между новыми и старыми паверсорами // Тр. Амер Общ. инж. мех. Конструирование и технология жашиностроения.— 1971 —№ 1.—С. 276—281.

Пла. АП АрмССР (сер. ГН), п Х1.1, № 6, 1988

ЭЛЕКТРОТЕХНИКА

М. А КАРАПЕТЯН

ПЕРЕХОДНОЕ ЭЛЕКТРИЧЕСКОЕ ПОЛЕ В МОНОДИСПЕРСНОИ СИСТЕМЕ СО СФЕРОИДАЛЬНЫМИ ВКЛЮЧЕНИЯМИ ПРИ УЧЕТЕ ПОВЕРХНОСТНОЙ ПРОВОДИМОСТИ

Расчет переходного электрического поля а дисперскых системах в [1, 2] был осуществлен с учетом диэлектрических проинцаемостей в, и объемных проводимостей у леществ компонентов. Однако в ряде случаев весьма важно с проводимость излючения проводимость и проводимост

ний. Например, поверхностная проводимость стенок дазовых полостей в диэлектрике вграет решающую роль в возникловении и развитии новизационных явлений в диэлектрике, а кинетика зарядки и предельный заряд частиц, заряжаемых в поле коронного разряда, существенно определяются поверхностной проводимостью частицы. Необходимость учета поверхностной проводимосты включений при изучении поля в дисперсных системах представляет интерес и для аругих областен.

Учет поверхностной проводимости единичного трехосного эллипсонда в однородной среде при расчете электрического поля еще не осуществлен. Эта задача в настоящее время решена для случая единичного сферондального выпочения [3, 4]. Как показано в [4], при постоянной по величине проводимости сферондальной поверхности электрическое поле внутри включения неоднородное (при внешнем однородном поле). Однако для вытянутых сферонлов степень неоднородности поля вдоль малой оси, перпендикулярной к весьма мала.

Няже приводится приближенный расчет переходного электрического поля в монодисперской системе с ориентированными сферондальными включениями при учете постоянной проводимости поверхности у, включений. Расчет основывается на предположении, что электрическое поле внутри иключения однородное. Принятое допущение обоснуется следующами рассуждениями. Известно [3—5], что рост поверхностной проводимости включений праводит к резкому ослаблению и ля вкутри включений и усилению его вне включения. Особенно всли о усиление поля в среде у вершины вытянутого эллипсонда Е. Поэтому рассматриваемая задачи представляет большой интерес для определения поля в среде у вершины включения и неточность расчета поля внутри включения Е₁ не имеет существенного значения. Под символом Е₁ в инжеприведенных расчетах следует подразумевать напряженность электрического воля в точке вершины внутри эключения, а не во всем объеме. Предполагается, что Е₁ направлен по оси 20 глиппсонда.

Пусть оси 2a сфероплальных включений ориентированы по направлению внешнего поля $\bar{E}_0(t)$. При регулярном распределении сфероидальных включений задача становится плентичной с задачами [1, 2]

$$E_1(s) = E_0(s) - \frac{(1-f)N_a}{V^s} p(s), \quad E_2(s) = E_0(s) + \frac{1-(1-f)N_a}{V^s} p(s)$$
 (I)

с той лишь разницей, что лапласово изображение дипольного момента p(s) поляризованного включения определяется и поверхноствой проводимостью включений. Здесь ε_s — аблолютная диэлектрическая проницаемость дисперсионной среды, V объем включения, f объемная концентрация включений в дисперсной системе, N_a — коэффициент деполяризации сферонда вдоль оси 2a.

Действительно, при регулярном распределении в пространстве оданаковых сфероидальных включений векторы E_1 и E_2 параплельны E_3 . Если поле внутри—включения принято—однородным в равным L_1 , то имеем дело с расчетной моделью [1, 2], и сопоставляемые задачи должны отличаться только по величинам E_1 и E_2 . Повышенная проводимость поверхности должна приводить к ослаблению поля внутри и, наоборот, его усилению вис включения.

Степень ослабления E_1 и усиления E_2 определяется собственным полем включения или его дипольным моментом p. Влияние собственного поля включения на результирующие поля E_1 и E_2 представляются вторыми членами (1). Таким образом, определение p с учегом поверхностной проводимости включения иполне достаточно для решения поставленной задачи

С целью определения *p* (s) воспользуемся принципом непрерывности электрического тока с учетом и поверхностного тока

$$J_{1n}(s) - J_{2n}(s) + \text{Div } J_{s}(s) = 0.$$
 (2)

Здесь J_{2n} и J_{2n} — пормальные составляющие плотностей полных токов в граничной точке внутри включения и в среде соответственно, J_{1} — плотность поверхностного тока проподимости.

Уравиение (2) в сплюснутых сфероилальных координатах \$, \$, ф, связанных с декартовыми формулами

$$z = r\xi_1, \quad | \quad \overline{x^2 + y^2} = r | \quad (1 + \xi_1)(1 - \xi_2),$$
 (3)

может быть представлено в виде [4]:

$$(\gamma_1 + s_1) E_{\epsilon_1}(s) = (\gamma_2 + s_2) E_{\epsilon_2}(s) + \gamma_s - \frac{h \cdot \partial}{h \cdot h_o \partial \xi} \left[\frac{h}{h} E_{\epsilon}(s) \right] = 0, \quad (4)$$

где r — половина фокусного расстояния: h., h., h — коэф. Ламе:

$$h = r \sqrt{\frac{\xi^2 - \xi^2}{1 + \xi^2}}; \quad h = r \sqrt{\frac{\xi^2 - \xi^2}{1 + \xi^2}}; \quad h = r \sqrt{\frac{\xi^2 - \xi^2}{1 + \xi^2}}.$$
 (5)

Лапласовы изображения напряженностей поля, аходящие в (4), могут быть определены из (1) по выражениям

$$E_{31}(s) = E_{1}(s) \cos \alpha$$
, $E_{2}(s) = E_{2}(s) \cos \alpha$, $E_{3}(s) = E_{1}(s) \sin \alpha$, (6)

где «—угол между пормалью к элипсу продольного сечения сферондальной поверхности и осью х (рис. 1). Выражения (б) вериы при условни однородности доля внутри сферонда, а на вершине сферонда, изва симметрии поля, эти выражения верны независимо и характера поля внутри включения.

Из рис. 1 следует, что

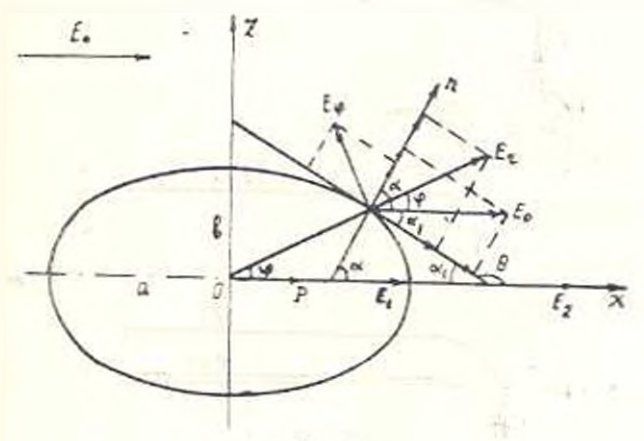
$$\sin z = \frac{z}{\sqrt{r^2 x^2 + z^2}}, \quad \cos z = \frac{z}{\sqrt{r^2 x^2 - z^2}}.$$
 (7)

где $\kappa = 9/a$. Выразня х и г через сфероидальные координаты, согласно (3) (при $y = \theta$) получим

$$E_{1}(s) = E_{1}(s) \frac{\lambda^{2} | 1 + \zeta^{2}}{\sqrt{\chi^{4}(1 + \zeta^{2})(1 - \xi^{2}) + \zeta^{2} \xi^{2}}},$$

$$E_{12}(s) = E_{1}(s) \ell^{2} \sqrt{\frac{(1 + \zeta^{2})(1 - \xi^{2})}{\kappa^{4}(1 + \zeta^{2})(1 - \xi^{2}) + \zeta^{2} \xi^{2}}},$$

$$E_{1}(s) = E_{1}(s) \frac{\xi}{\sqrt{\ell^{4}(1 + \zeta^{2})(1 - \xi^{2}) + \zeta^{2} \xi^{2}}}$$
(8)



PMC- 1.

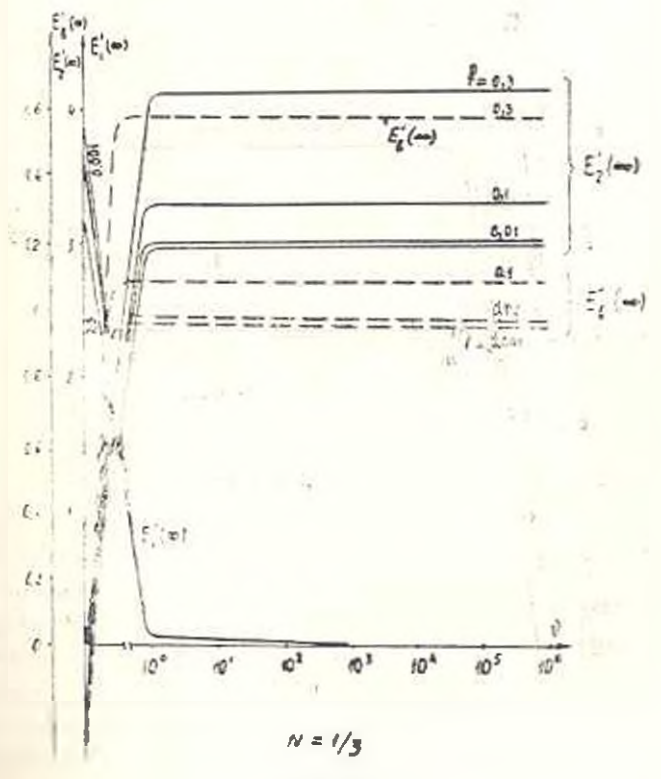
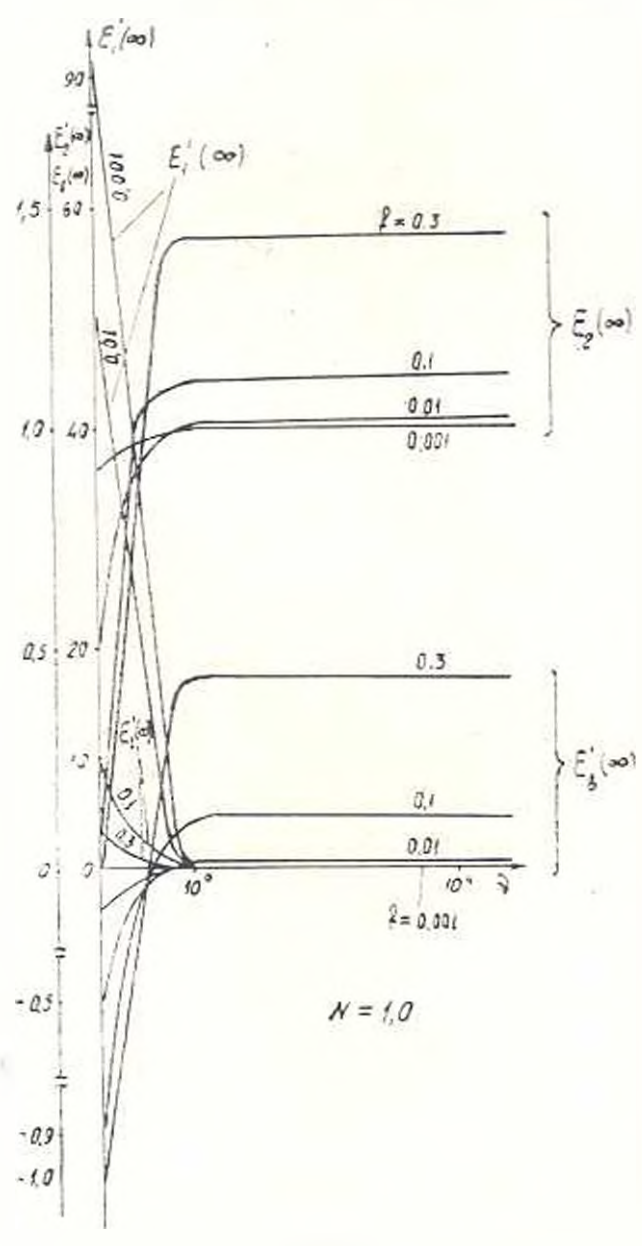


Рис. 2.

Уравиение непрерывности тока (4) должно быть написано для вершины сферонда, координаты которой равны =b r = b (4), в $\xi = 0$, $\varphi = 0$. Осуществив дифференцирование, трабуемое в (4), я подставии после этого в уравнение координаты вершины, получим

$$(\gamma_1 + s\varepsilon_1) E_1(s) - (\gamma_2 + s\varepsilon_2) E_2(s) + \frac{a^2}{b^2(b+1) a^2 - b^2} E_1(s) = 0.$$
 (9)



Pac. 3.

После подстановки (1) в (9) и решения относительно р (5)

$$p(s) = Ve_{s}n_{s} \frac{1-\varepsilon}{1+\varepsilon} E_{s}(s). \tag{10}$$

где

$$0_{s} = \frac{c_{1} - c_{2}}{c_{1} - c_{2} + 2c_{1}} \cdot 2c_{1} = c_{s} \cdot \frac{b^{2} (b + 1 \cdot a^{2} - b^{2})}{b^{2} (b + 1 \cdot a^{2} - b^{2})} \cdot \frac{c_{1} + (c_{1} - c_{2}) (1 - f) N_{s}}{c_{2} + (c_{1} - c_{2}) (1 - f) N_{s}} \cdot \frac{c_{2} + (c_{1} - c_{2}) (1 - f) N_{s}}{c_{2} + (c_{1} - c_{2}) (1 - f) N_{s}} \cdot \frac{c_{3} + (c_{1} - c_{2}) (1 - f) N_{s}}{c_{2} + (c_{1} - c_{2}) (1 - f) N_{s}} \cdot \frac{c_{3} + (c_{1} - c_{2}) (1 - f) N_{s}}{c_{2} + (c_{1} - c_{2}) (1 - f) N_{s}} \cdot \frac{c_{3} + (c_{1} - c_{2}) (1 - f) N_{s}}{c_{2} + (c_{1} - c_{2}) (1 - f) N_{s}} \cdot \frac{c_{3} + (c_{1} - c_{2}) (1 - f) N_{s}}{c_{2} + (c_{1} - c_{2}) (1 - f) N_{s}} \cdot \frac{c_{3} + (c_{1} - c_{2}) (1 - f) N_{s}}{c_{2} + (c_{1} - c_{2}) (1 - f) N_{s}} \cdot \frac{c_{3} + (c_{1} - c_{2}) (1 - f) N_{s}}{c_{2} + (c_{1} - c_{2}) (1 - f) N_{s}} \cdot \frac{c_{3} + (c_{1} - c_{2}) (1 - f) N_{s}}{c_{2} + (c_{1} - c_{2}) (1 - f) N_{s}} \cdot \frac{c_{3} + (c_{1} - c_{2}) (1 - f) N_{s}}{c_{2} + (c_{1} - c_{2}) (1 - f) N_{s}} \cdot \frac{c_{3} + (c_{1} - c_{2}) (1 - f) N_{s}}{c_{2} + (c_{1} - c_{2}) (1 - f) N_{s}} \cdot \frac{c_{3} + (c_{1} - c_{2}) (1 - f) N_{s}}{c_{2} + (c_{1} - c_{2}) (1 - f) N_{s}} \cdot \frac{c_{3} + (c_{1} - c_{2}) (1 - f) N_{s}}{c_{2} + (c_{1} - c_{2}) (1 - f) N_{s}} \cdot \frac{c_{3} + (c_{1} - c_{2}) (1 - f) N_{s}}{c_{2} + (c_{1} - c_{2}) (1 - f) N_{s}} \cdot \frac{c_{3} + (c_{1} - c_{2}) (1 - f) N_{s}}{c_{2} + (c_{1} - c_{2}) (1 - f) N_{s}} \cdot \frac{c_{3} + (c_{1} - c_{2}) (1 - f) N_{s}}{c_{2} + (c_{1} - c_{2}) (1 - f) N_{s}} \cdot \frac{c_{3} + (c_{1} - c_{2}) (1 - f) N_{s}}{c_{2} + (c_{1} - c_{2}) (1 - f) N_{s}} \cdot \frac{c_{3} + (c_{1} - c_{2}) (1 - f) N_{s}}{c_{2} + (c_{1} - c_{2}) (1 - f) N_{s}} \cdot \frac{c_{3} + (c_{1} - c_{2}) (1 - f) N_{s}}{c_{2} + (c_{1} - c_{2}) (1 - f) N_{s}} \cdot \frac{c_{3} + (c_{1} - c_{2}) (1 - f) N_{s}}{c_{2} + (c_{1} - c_{2}) (1 - f) N_{s}}$$

Совместным решением (1) и (10) и определением оригипллов E(s), E(s) находим переходные функции напряженностей электрического поля во включении (в его вершине) $E_1(t)$ и и среде (у вершины включения) $E_1(t)$ при внешнем постоянном поле $E(E_0(s)) = E_0(s)$.

На рис. 2, 3 построены зависимости $E_{-}(\cdot)$ $E_{1}(\cdot)$ E_{0} $E_{2}^{*}(\infty) = E_{1}(\infty)E_{0}$, $E_{0}^{*}(\infty) = I_{-}(\infty)E_{0}$ от коэффициента $\mathbf{v} = -\gamma_{1}$ и концентрации f для случаен сплюснутого сфероида и сферы. На рисунков следует, что уже при по числовому значению равным γ (г. е. при $\mathbf{v} = \mathbf{I}$), поле внутри газовой полости ($\gamma_{1} = \mathbf{I}0^{-1}$ C_{M} M) и диэлектрике ($\gamma_{1} = \mathbf{I}0^{-1}$ C_{M} M) практически отсутствует независимо от концентрации и формы газовых полостей. Интересно, что с ростом поле взаимодействия меняет свое направление. Поскольку для любого диэлектрика отношение $\mathbf{v} = \gamma_{1}$ γ_{1} всегда больше единицы, можно завилючить, что нонизационные явления в газовых полостях диэлектриков при внешием постоянном поле практически отсутствуют. Этог результат согласуется с экспериментальными данными.

ЕрПИ им. К. Маркса

I. VI. 1987

U H HECHAUSAND

ԳԻԴԱԿԵՐԿ ՆԵՐԱՌՈՒՄՆԵՐՈՎ ՄԵԱԳԻՍՊԵՐՍ ՀԱՄԱԿԱՐԳՈՒՄ ԱՆՑՈՒՄԱՑԻՆ ԷԼԵԿՏՐԱԿԱՆ ԳԱՇՏԸ ՄԱԿԵՐԵՎՈՒՅ ԹԱՅԻՆ ՀԱՂՈՐԳԱԿԱՆՈՒԹՑԱՆ ՀԱՇՎԱՌՄԱՄԲ

Reference

Իրականացված է լեկ բա լարվածության այվ ինյպես ատվան այնպես էլ դրսում նրա գազաթային հանրում։
վարկը կատ ած է նամ ներառման ակզբունքի օգտագործմամբ, նկատի և էլնկտրական չոսանյի անրնդ ատության սկզբունքի օգտագործմամբ, նկատի ունենալով դնդակերպ մակերևույթով չոսանքը Հասատատ արտաքին դաշաի դեպքում ուսումնասիրված է ներառման նկատան կորսում կորսում դաշաի լարվ ությունների կախումը դնդակերպ մարմնի ձևից, մակերևույթային ճաղորդականությունից և ծավ ային խառաքյունից։

- Киранетян М. А. Песледование элект и чакого исля в дв. ер. системе с пялюченаями дзух типов // Электричество.—1972.—№ 11—С 72—76.
- Карапетям И. А. Электрическое поле в диспереной системы при предупольной ориевтании сферондличных аканолений // Инв. АИ АрмССР Сеп. ТИ 1972—Т XXV, № 6.—С. 37—43.
- Rogers E. C., Skipper D. Gasseons die trige phenomena in highwoltage d. c. cable dielectric Pro latin Lieutr Engery, 1960 V. 107, M 33, —P. 171—155.
- 4 Дживирлы Ч. М., Во полимер Г. В., Штейнирайбер В. Я. Воливне поворхносткой проводимоли на поле и сферондальном газовом икломении и дивлектрике// Изи АП СССР. Эвергетик, и и инфенорт —1972 № 5. С., 76—33
- Киропетян И. Т. Электрическое поле в заключений овстеме пра учете пооерхностной прозна въссти сферических аключений // Электрочная обработка матераалов, 1973 - № 4. С. 64 66.

Him AH ApMCCP (cep TH), r XEL № 6 1988

ЭЛЕКТРОТЕХНИКА

м с галстян, э с фридживашян в. и читечян

СТРУКТУРНОЕ МОДЕЛИРОВАНИЕ АВТОНОМНЫХ ЭЛЕКТРОМЕХАНИЧЕСКИХ СИСТЕМ

В работе рассматриваются в прост построения структурной модели автономной системы электроснабжения (СЭ) [1], представляющей собой сочетание структурной модели синхронного генератора (СТ) типа ОС с моделями элементов коррекции и регулировация папряжения.

Возбуждели: СТ типа ОС осущестиляется энептиса тр. тьей гармоки поля Следовательно, модель магнитной цепи генератора должна
обеспечивать зоспроизведение с достаточной толностью не только основной, но и третьей гармоники поля в зазоре При этом, во избежавие
излишшего усложиения моделирующего устройства (МУ), целесообразно неключить из рассмотрения остальные гармоники поля в зазоре, а
также поля вне машины. На рис. 1 приведена принциппальная схема сеточной электрической модели магнитной цепи, удовлетворяющая этим
условиям. Из соображения удобства воспроизведения происссов и обметках машины электрическому потенциалу модели поставлен в соотвезствие векторный магнитный потенциал оригинала [2]. Ислинейные
сопротивления моделируют магнитные проводимости ферромагнитных
областей, а липейные резисторы воспроизводят воздушные участки. Назовость серпечника статора учитывается коэффициситом Картера. Места подключения моделей обмоток статора показаны стрелками.

Замена ясследования магнитного поля анализом распределения электрических потенциалов в узлах резистивной сетки приводит к необходимости взанивого перемещения электрически связанных роторной и статорной частей сетки. При структурном моделировании ЭМ задана

- Киранетян М. А. Песледование элект и чакого исля в дв. ер. системе с пялюченаями дзух типов // Электричество.—1972.—№ 11—С 72—76.
- Карапетям И. А. Электрическое поле в диспереной системы при предупольной ориевтании сферондличных аканолений // Инв. АИ АрмССР Сеп. ТИ 1972—Т XXV, № 6.—С. 37—43.
- Rogers E. C., Skipper D. Gasseons die trige phenomena in highwoltage d. c. cable dielectric Pro latin Lieutr Engery, 1960 V. 107, M 33, —P. 171—155.
- 4 Дживирлы Ч. М., Во полимер Г. В., Штейнирайбер В. Я. Воливне поворхносткой проводимоли на поле и сферондальном газовом икломении и дивлектрике// Изи АП СССР. Эвергетик, и и инфенорт —1972 № 5. С., 76—33
- Киропетян И. Т. Электрическое поле в заключений овстеме пра учете пооерхностной прозна въссти сферических аключений // Электрочная обработка матераалов, 1973 - № 4. С. 64 66.

Him AH ApMCCP (cep TH), r XEL № 6 1988

ЭЛЕКТРОТЕХНИКА

м с галстян, э с фридживашян в. и читечян

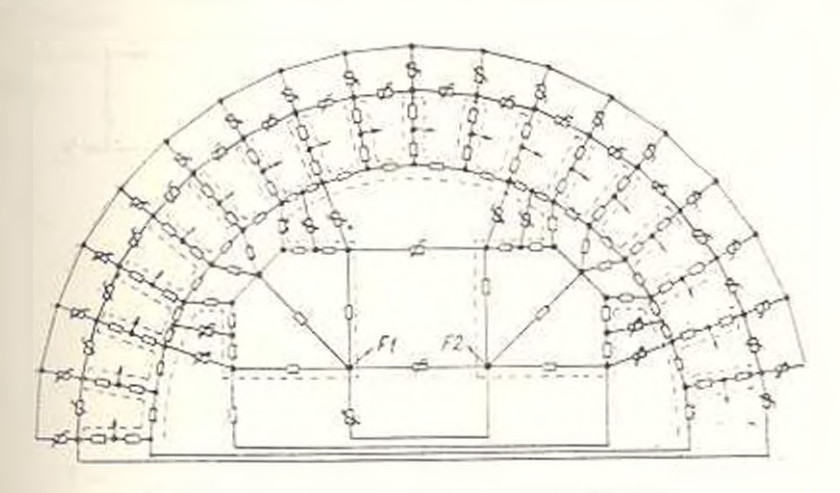
СТРУКТУРНОЕ МОДЕЛИРОВАНИЕ АВТОНОМНЫХ ЭЛЕКТРОМЕХАНИЧЕСКИХ СИСТЕМ

В работе рассматриваются в прост построения структурной модели автономной системы электроснабжения (СЭ) [1], представляющей собой сочетание структурной модели синхронного генератора (СТ) типа ОС с моделями элементов коррекции и регулировация папряжения.

Возбуждели: СТ типа ОС осущестиляется энептиса тр. тьей гармоки поля Следовательно, модель магнитной цепи генератора должна
обеспечивать зоспроизведение с достаточной толностью не только основной, но и третьей гармоники поля в зазоре При этом, во избежавие
излишшего усложиения моделирующего устройства (МУ), целесообразно неключить из рассмотрения остальные гармоники поля в зазоре, а
также поля вне машины. На рис. 1 приведена принциппальная схема сеточной электрической модели магнитной цепи, удовлетворяющая этим
условиям. Из соображения удобства воспроизведения происссов и обметках машины электрическому потенциалу модели поставлен в соотвезствие векторный магнитный потенциал оригинала [2]. Ислинейные
сопротивления моделируют магнитные проводимости ферромагнитных
областей, а липейные резисторы воспроизводят воздушные участки. Назовость серпечника статора учитывается коэффициситом Картера. Места подключения моделей обмоток статора показаны стрелками.

Замена ясследования магнитного поля анализом распределения электрических потенциалов в узлах резистивной сетки приводит к необходимости взанивого перемещения электрически связанных роторной и статорной частей сетки. При структурном моделировании ЭМ задана

имитации вращения ротора является одной на наиболее сложных, что объясияется больше количеством электрических связей между изслами сердечников статора и ротора, а также невозможностью построизведения плавного вращения ротора из-за дискретности структуры нодели магнитного поля. Однако допушения, принятые при выборе смым замещения магнитной цепи, позволяют солдать эффект враше от ротора путем поворота модели обмотки статора отност телько модели магнитной цепи. Такой подход исключает необходимость взаимного перемещения частей резистивной сетки и значительно упрощает схему имитатора врашения.



Гис. 1. Сугма сеточной модели матинтион пени.

Дальнейшее упрошение имятатора вращения достигнуто заменой результирующего движения модели статорной обмотки относительно ислели частитной це и двумя частичными движениями. Все необходимые вереключения производятся согласованными электрочными коммутаторами, один из которых (ЭК1) скачками на величину угла зубнового деления ${\bf q}$, осуществляет периодический поворот модели магнитной цени относительно молели основной обмотки статора на угол ж и пределах от 0 до (2 ${\bf m}$ 3- ${\bf q}$ 7) (рис. 2a), а другой (ЭК2) реализует клачкообразный поворот на угол ${\bf p}$ 2- ${\bf m}$ 3 в момент возврата угла ${\bf m}$ 3 начальному значению (рис. 26). Пры этом результирующий угол ${\bf p}$ 2- ${\bf m}$ 4 между моделями магнитной цени и обмотки статора изменяе ся схачками на ${\bf q}$ от 0 до 2 ${\bf m}$ 4 (рис. 2 ${\bf b}$ 3).

Блок-схема имитатора вращения представлено на рис. 2π 5.10сь ГПИ—генератор прямоугольных импульсов с частотой следования $I=I_m z_1.p$. СТ—счетчик импульсов с коэффициентом пересчела, равным z_1/p ; x/y—кодопреобразователь, переводящий I= элементный паралле ими кол на выходе счетчика в n—элементный параллелиный кол унравления электронными коммутаторами; z_1 —число зубщозых делевий статора; p—число пар полюсов миделируемого генератора; f_n —моде имая частота, соответствующая выбранному масштабу времени. В расс

сматриваемом конкретном случае моделирования СГ типа ОС в реалипом масштабе времени: $z_1=36,\ p=2,\ l=5,\ k=6,\ n=9,\ f=900)$ Га,

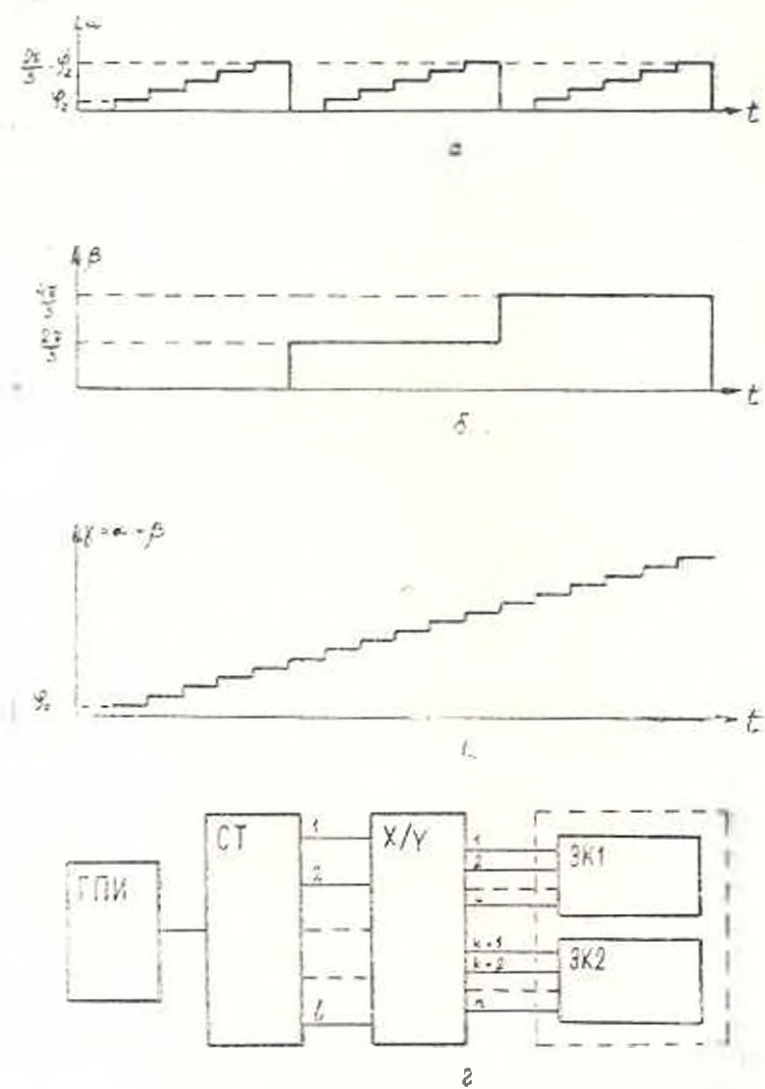


Рис. 2. Пынтация пращения ротора.

Так как в MV неследуется илоско-параллельное магнитное поле; структурное моделирование обмоток усложивется необходимостью воспроизведения лобовых соединений между катушками. Это затруднение преололевается путем электрической развязки моделей обмоток от модели магнитной цени (например, с помощью трансформаторон) [3].

Каждая фаза в новной обмотки статора моделируется группой трансформаторов, число которых определяется количеством катушек в фазе. Выводы их вторичных обмоток через электряческие мосты, собранные из обратимых гранзисторных ключей и коммутатор ЭК1, подължены к узлам резистивной сетки, соответствующим областям распо-

ложения катушек (рис. 1), а первичные обмотки, соединенные последовательно в соответствии со схемой соединения катушек фаз, через коммутатор ЭК2 выведены на клеммы A_1 , B_1 , C_1 , x_1 , u_2 , z_2 , соответствующие зажимам основной обмотки СГ.

Базовые цепи транлисторов, образующих электронные ключи, питаются напряжением повышенной частоты (1000 Гц) так, чтобы смежные плечи мостов управлялись противофазным сигналом. Этим обеспечивается эффективная трансформация сигналов различных частот, вплоть до инфранизких, за счет высокочастотной модуляции и демодуляции и, следовательно, снимается ограничение в воспроизведении инскочастотных процессов в машине.

Аналогичным образом моделируется и дополнительная обмотка статора.

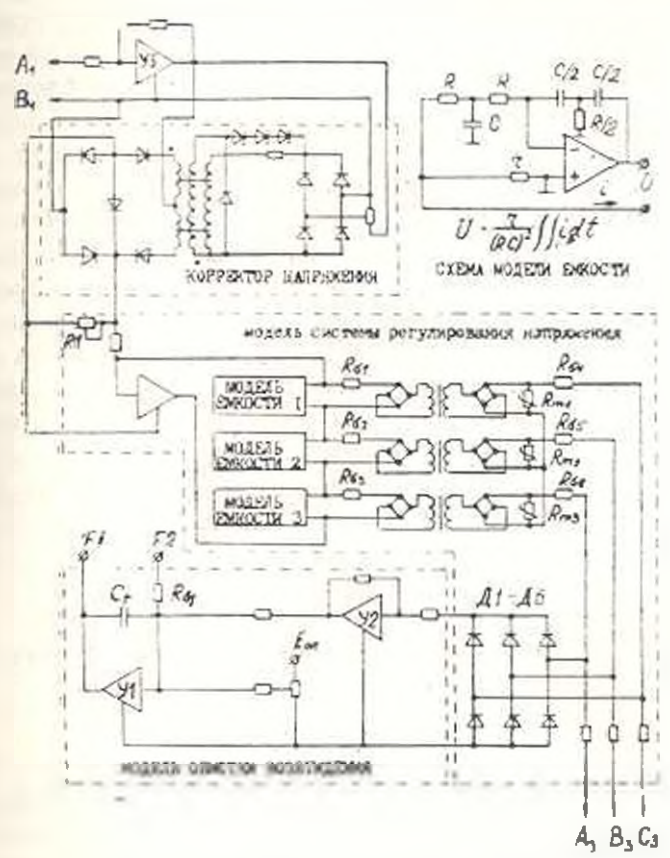


Рис. 3. Схеми модели системы возбуждения.

На рис. З представлена схема модели системы возбуждения. Параметры обмотки возбуждения (ОВ) СТ воспроизводятся деночьой причем, соответствует индуктивности добового рассеяния ОВ, а С, моделирует се активное сопротивление. Клеммами F1 и F2 модель ОВ подключается к модели матинтной цепи. Для задания маснитодвижущих сил ОВ емкость С, включена в цепь обратной связи усилителя УТ, на входы которого подаются сигналы, соответствующие установавшейся магнитодвижущей силе нозбуждения и остаточной намагниченности магнитопровода машины. Модель дополнительной обмотки A_{\uparrow} , B_{z} , C_{z} подключается как к модели ОВ (через выпрямитель $\Pi 1$ — $\Pi 6$ и усилитель Y2), гак и к модели дросселя насыщения. Индуктивности рассеяния управляющих и рабочих обмоток дросселя вое производятся, соответственно, резисторами $R_{a1}-R_{a3}$ и $R_{a4}-R_{a4}$ а главные выдуктивности рабочих обмоток—неливейными сопротивлениями $R_{a4}-R_{in3}$. Электрическая развязка рабочих и управляющих обмоток осуществляется трансформаторами и электрическими мостами так же, как и при моделировании обмоток статора. Управляющие обмотки дросселя насыщения зашунтированы конденсаторами, которые воспроизводятся моделями смкостей 1-3. Схема модели емкости привелена на 10м же рисунке.

Из описанных блоков собирается модель АСЭ с достаточно широкими исследовательскими возможностями. Структурный принцип построения позволяет воспроизвести все связи между блоками, в том числе и скрытые, чем обеспечивается высокая верность моделирования сложных процессов АСЭ. Все исследуемые велинины могут быть представлены напряженнями постоянного тока, временными интервалами и инфровыми кодами, благодаря чему структурные МУ легко сочетаются с обычными АВМ и ЦВМ Возможность введения в модель реальной аппаратуры способствует решению вопросов одтимального согласования отдельных компонентов системы. Легкость варыпрования нараметров исследуемого объекта, наряду с высокой наглядностью и практически меновенным получением результата. делают структурные МУ отональний и кинаводет, эн редве киношей кля имищикохдоп вмеська проектирования ЭС. Их применение позволит существенно сокрагить сроки и затраты на создание новых разработок за счет определения всех характеристик на этапе проектирования.

ЕрПП им. К. Маркса

30 VIII. 1986

Մ. Ս. ԳԱԼԵՏՅԱՆ, Է. Ո. ՖՐՆՋԻՐԱՇՅԱՆ, Վ. Ի. ՉԻՏԵՉՏԱՆ

ԻՆՔՆԱՎԱՐ ԷԼԵԿՏՐԱՄԵԽԱՆԻԿԱԿԱՆ ՀԱԾԱԿԱՐԳԵՐԻ ԿԱՌՈՒՑՎԱԾՔԱՑԻՆ ՄՈԳԵԼԱՎՈՐՈՒՄ

Under din din est

Քննարկված են սինքըոն գեներատորների և դրանդ հիման վրա ստնդծված ելեկտրամատակարարման ինքնավար համակարգերի կառուցվածքային մուրերավորման հարցերը։ Յույց է արված էլեկտրամեխանիկական համակարգերի վերլուծուկյան և սինքների խնդիրների յուժման համար մասնագիտացված մուրերավորող սարընթի օգտագործման նպատակահարմարությունը։

ЛИГЕРАТУРА

- Лучие ский С. м., Кат. в. Мазия Л. В. Мо., ту эвеще злементом электродохинических силтим,—М.—Л. Эмертия, 1986—304 с.
- 2. Инслии-Смиленский А. В., Курнеции В. А. Митематическое моделирование вереприятильности и привести и принед под измолодистной машины с учетом вельнейших и правологи 1967. М. 1—С. 98—193.

3. Финдживания Э. С. Экспериментальное испледование и математическое моделирот синхронных мании: Автореф... Дж. канд. т-хи. наук.—Елеван. 1978.— 22 с.

Изв. АН АрмССР, (сер. ТН). г. XI.I. 6, 1988

ЭЛЕКТРОТЕХНИКА

Л А. МАНУКЯН, Г К. САФАРЯН

РАСЧЕТ ДИНАМИЧЕСКИХ ХАРАКТЕРИСТИК АСИНХРОННЫХ ДВИГАТЕЛЕЙ МАЛОЙ МОШНОСТИ

Работа электрических двигателей в современых инфокорегулируемых электроприводах сопряжена с протеканием частых и интенсивных переходных процессов, вызванных воздействиями на управляющий еход и изменением момента сопротивления на валу. Создавая электрические машины с оптимальными для системы данамическими показателями, можно повышать качество и динамические возможности системы. Исследование динамических свойств аспихронных двигателей позволит учесть ряд особенностей данного класса машин при проектировании и тем самым расширить области их применения и приступить к созданию опециальных серий и модификации асинхронных двигателей, работаюших в динамических режимах.

В настоящей статье производится оценка динамических режимов работы асинхронных электродвигателей малой монности единых серий. Для расчета переходных процессов асинхронных двигателей была использована система дифференциальных уравнений [1, 2]. Эти уравнения, записанные через потокоспепления в синхронно-вращающейся системе координат, приведены в относительных единицах, что обеспечивает их наглядность и удобство при решении на ЭВМ. При составлении лифференциальных уравнений были приняты общензвестные допушения, применяемые при замене реальной машины к обобщенной двухфазной [1, 3]:

$$\begin{cases} \frac{d\psi_{x1}}{d\tau} = u_{x1} - \frac{R_1}{x_1'} \psi_{x1} + \frac{R_1}{x_1'} K_{m2} \psi_{x2} + \psi_{y1}; \\ \frac{d\psi_{y1}}{d\tau} = u_{y1} - \frac{R_1}{x_1'} \psi_{y1} + \frac{R_1}{x_2'} K_{m2} \psi_{y2} - \psi_{x1}; \\ \frac{d\psi_{x2}}{d\tau} = -\frac{R_2}{x_2'} \psi_{x2} + \frac{R_2}{x_2'} K_{m1} \psi_{x1} + \psi_{y2} - w_{\mu} \psi_{y2}; \\ \frac{d\psi_{y2}}{d\tau} = -\frac{R_2}{x_2'} \psi_{y2} + \frac{R_2}{x_2'} K_{m1} \psi_{y3} - \psi_{x2} + w_{\mu} \psi_{x2}; \\ \frac{dw_{\mu}}{d\tau} = \frac{p_1 M_B}{J w_B^2} (m_a - m_c); \end{cases}$$

2-811

17

$$m = \frac{3p_1}{2x_1 \cdot y_2} (\psi_x, \gamma_y) = 0$$

гле Φ_{x_1} , Φ_{x_2} — потокосцепления статорной и роторной обмогок по осям x_i , y_i , x_i , R_i , x_i — активные и полные индуктивные сопротивления статорной и роторной обмотки; $x_i = x_{s1} + x_m$, $x_i = x_{s2} + x_m$, $x_i = 1$ σ σ .; $K_i = x_i$, $K_i = x_$

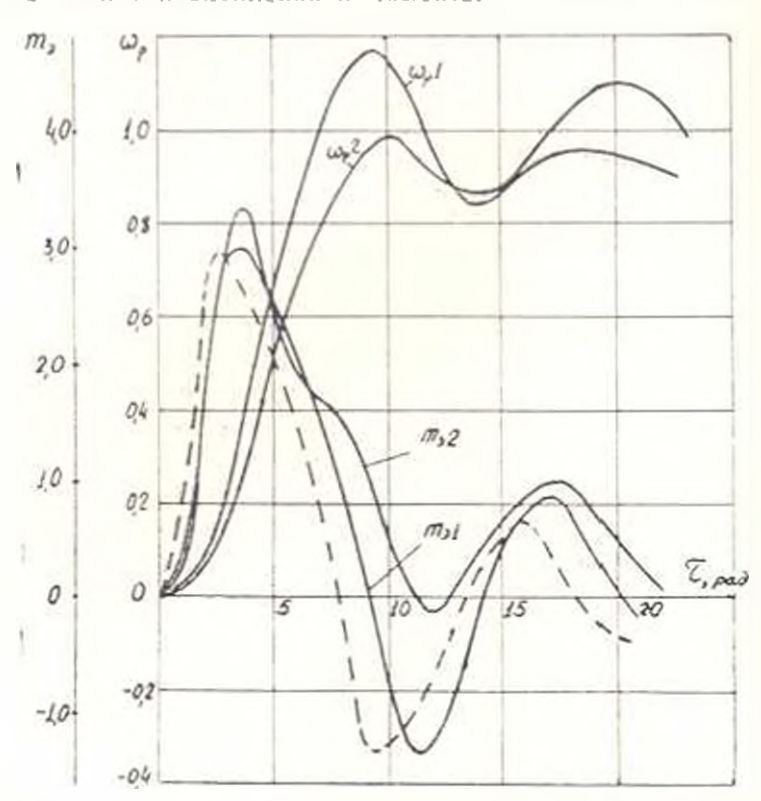


Рис 1. Липанические характеристики пуска асинуроппого пингателя 4A63A4 при 0; m/2 при $m_c=0.02$ $m_{10}=--$ расчет --- эксперимент.

С помощью системы уравнений (1) можно исследовать переходные процессы при пудке и реверсе с затухним и иезатухним полем. Были рассчитаны динамические уарактеристики двигателей отредка серии 4A. Расчеты выполнены на ЭВМ ЕС-1022 с помощью стандартной подпрограммы Хемминга НРСС 11a рнс 1 и 2 представлены динамические характеристики двигателя 1А63А4 при пуске (рнс. 1) и реверсе (рнс. 2). Из представлениых динамических характеристик и днализа

аннамических показателей двигателей серии 4 Λ AM с α σ . σ . 50—63 мм-следует, что время разгона колеблется ст 15 до 30 мс, а ударные моменты достигают до $m_{\rm 13D}=3.0-3.5$ σ , e, при пуске и $m_{\rm 13D}=4.0-4.5$ σ . e, при реверсе.

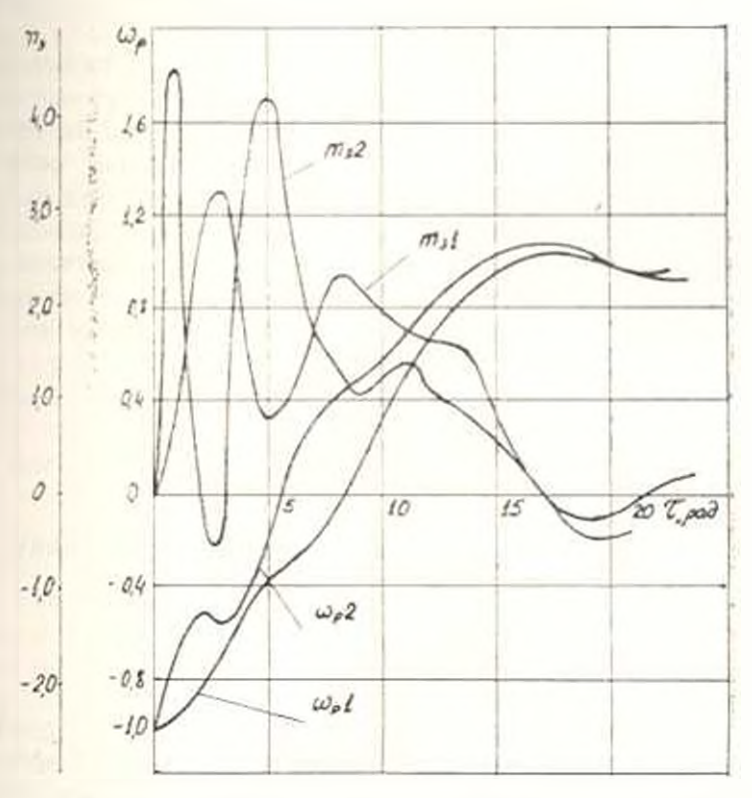


Рис. 2. Линамические характеристики реверса асинхронного двигателя 4A63A4 при $m_c = 0$: $m_a 1 = 0$ затухини полем: $m_a 2 = c$ незатухини полем

В качестве критерия идекватности реального двигателя и ее мите--имкиид эмина эміннэ онацьинемиченую міткинци исером йомэ<mark>эриктям</mark> ческих моментов. На рис. 2 приведела планая зарактеристика дина**инческого момента двигателя** 4A63A4 (пункты и в линия). Анализ результатов обработка экспериментальных и раз гиму данных аскихронных двигателей (АД) малой мощности отрезка серии 4А (о. о. о. 50—63 мм) показывает, что протекание переходных процессов пуска. реверса и торможения отличается от таконых для АЛ средней и большой мощности [3] Время затучания переходиму про ессов при луске и реверсе АД средней и бызывыя мышио, по по пользается; ударные моменты достигают своих макеммальных значений и очень короткий промежуток времени, в кривой раз она за ктромалинтного момента наблюдается увеличение числа знаконеременных моментов; отрищагельные и положительные ударные моменты в чачале нуска имеют лочти одинаковую амплитуду электромеханичествя по тоянилая премени больше, чем электроматнитная постоянная времени, экорость аращения достигает своего установившегося, вначения почти без перерегулирования.

В исследуемых А.I малой мощности электромеханическая постоянная времени соизмерима с электромагнитной постоянной времени, а скорость вращения достигает установившегося значения с перерегулированием.

Анализ полученных криных динамической момента исс. — семь АЛ малой мощности показывает, что еходимость экспериментальных и расчетных данных не превышает 20%, тогда как иля АЛ большой мощности еходимость не превышает 10%. Это расхождение объясияется тем, что АЛ малой мощности обычно работают условиях насыщения магинтной системы, которое не учтено в общенринятых допущенных, и при составлении математической модели не учтены также технологи илекне особенности изготовления (эксцентриситет эллиптичность листов магинтопроводов, тинечтельно большой воздушный завор и т. ц.).

ШПБлектромаш

25. 111 1986-

է, Ա. Մահոթեցակ Գ. Կ. ՄԱՖԱՐՅԱՆ

ՓՈՔԲ ՀԿՈՐՈՒԹՅԱՆ ԱՍԻՆՔԻՆ Շ<mark>ԱՐԺԻՉՆԵՐԻ Դ</mark>ԵՆԱՄԻԿԱԿԱՆ ՔՆՈՒԳԱԳՐԻՐ ՀԱՇՎԱՐԿԸ

Ավ փոփում

Բերված են փոթը (զորության միասնական արինթրոն չարժիչների գինամիկական բնությագրերի (աշվարկի արդյունըները։ Տրված է ռինաժիկացուցանիչների գնահատումը թողարկման է դարձափոխման դնուրում։ Գինաժիկական մոմենաների աշվարկ յին արժերները համեմատված են փորձնական տվյալների հետ։

JIHTEPATYPA

- Конклов И. И. Прамене на вычислительных машии и икженерно-эка, эмеческих расчетах; Электрические маши на.—М. Выстря школа, 1980—256 с.
- Кайсик П. Ю. Софаряя Г. К., Мелинеков С. Ю. Характеристики двухскорост их совмещениях эсянхронно-андукторных двугателей Г. Нан. АП. АрмССР. Сер. 111—1985. Т. XXXVIII. № 2.—С. 17—22.
- 3 Копылов И. R_{\odot} Ф. A_{\odot} Бесполов B_{\odot} И. Математивеское моделирован аспихронных мание М. «Анергия, 1969 97 с

P AL BAPCETSH

фИЛЬТРАЦИЯ В ДЕФОРМИРУЕМЫХ ГРУНТАХ С УЧЕТОМ КОЛИЧЕСТВА ОТЖИМАЕМОЙ ВОДЫ НА ГРАНИЦЕ СЛОЯ

В работе [1] даны основные уравнения фильтрации воды в деформируемых водонасыщенных груптах с у етом изменений между жидкой и твердой фазами групта. Учет этого обстоятельства имеет нажное значение для сильносжимаемых груптов. Под действием равномерно распределенной нагрузки, приложенной на поверхности водонасыщенного групта, происходит консолидация групта и из пор групта постешенно освобождается воды за счет нарового давления, устанавливаемого в воде в момент приложения внешней нагрузки. Количество воды, освобожденное из пор, равно суммарному объему уменьшенной насти пор в момент времени г. В настоящее время при рассмотрении разных задач фильтрационном консолидации не интывается влияние количества освобожденном из исп групта воды на процесс фильтрации, а 1, я сильносжимаемых груптов влияние этого количества воды на процесс фильтрации может быть значительным.

В настоящей работе рассматривается зада а фильтрации в деформируемом слое групта мощности T. Поместим начало координат на верхней поверхности слоя (плоскость z=0). Нижняя поверхность слоя групта (влоскость z=T) водонепропицаемая. При за наверхней поверхности слоя групта примагается равномерно распределенная нагрупска интенсивностью под действием которой начинается неустаномяющими фильтрация и напряжение постепенно передается на скелет грунта.

Рассмотрим следующее уравнечие (1):

$$\frac{\partial H}{\partial z} = \frac{(\gamma - \gamma_z) k}{\gamma (1 + e_{cp})} \frac{\partial H}{\partial z} = \frac{(1 + e_{cp}) k}{\gamma a} \frac{\partial^2 H}{\partial z} = \frac{1}{\gamma (1 + e_{cp})} \frac{\partial H}{\partial z} \Big|_{z = z(t)}$$

Sчитыная, что $s'(t) = k \frac{\partial H}{\partial z}\Big|_{z=s(t)}$, следующего из равенства

$$\int_{0}^{t} k \frac{dt}{dz} \frac{dt}{(s,t)} dt = s(t)$$
, из данного уранцения получаем

$$\frac{\partial H}{\partial t} = a \cdot \frac{\partial H}{\partial z} - a^z \cdot \frac{\partial^z H}{\partial z^z} - s'(t) \tag{1}$$

гле

$$a^* = \frac{\left(\frac{r_i}{r_i} - \frac{r_i}{r_i}\right)R}{\frac{r_i}{r_i}\left(1 - \frac{r_i}{r_i}\right)}; \ a^* = \frac{\left(1 - \frac{r_i}{r_i}\right)R}{r_i} :$$

H = H(z; t) — искомый напор; — осредненный коэффициент пористости грунта; a коэффициент уплотнения грунта; γ — объемный вос воды; γ , — удельный вес скелета грунта; k — коэффициент фильтрации; s(t) — осадка слоя грунта в момент времени t; s'(t) — скорость осадки.

Ниже рассматривается задача о нахождении неизвестной функции H(z;t), удовлетворяющей уравнению (1) и условиям

$$H(z; 0) = \frac{\sigma}{\gamma} = H_0, \quad H|_{z=s_{cp}}, \quad \frac{\partial H}{\partial z}|_{z=T} = 0, \tag{2}$$

где s_{ер} — осредненное выражение осадки.

Введем новую функцию H(z; t) = H(z; t) + s(t), для которой имеем задачу (3), (4):

$$\frac{\partial H}{\partial t} = a^* \frac{\partial H}{\partial z} + a^* \frac{\partial^2 H}{\partial z^2} \,. \tag{3}$$

где

$$H(z; 0) = H_0; \quad H_{z=0} = 2s_{cp}; \quad \frac{dH}{dz} = 0.$$
 (4)

С помощью преобразовання $H=h(z;\,t)\exp\left(-\frac{a}{2}\,z\right)$, где $a=\frac{a_0}{a}$ из (3), (4) получим

$$\frac{1}{a^*} \frac{\partial h}{\partial t} = \frac{\sigma^2 h}{\partial z^*} = \frac{a^2}{4} h, \tag{5}$$

$$h(z; 0) = H_0 \exp\left(\frac{a}{2}z\right), \quad h|_{z=s_{\text{cp}}} = 2s_{\text{cp}} \exp\left(\frac{a}{2}s_{\text{cp}}\right),$$

$$\left(\frac{\partial h}{\partial z} - \frac{a}{2}h\right)\Big|_{z=T} = 0. \tag{6}$$

К задаче (5), (6) применяем преобразование Лапласа по t, полагая

$$\bar{h} = \int_{b} h(z; t) \exp(-pt) dt,$$

$$\frac{d^{2}\bar{h}}{dz^{2}} = \frac{(\alpha + p)}{a^{2}} \bar{h} = -\frac{H_{0}}{a^{2}} \exp\left(\frac{a}{2}z\right).$$
(7)

$$\overline{h}|_{z=s_{\rm cp}} = \frac{2}{p} s_{\rm cp} \exp\left(\frac{a}{2} s_{\rm cp}\right), \quad \left(\frac{dh}{dz} - \frac{a}{2} \overline{h}\right)\Big|_{z=7} = 0,$$
 (8)

где $a=\frac{1}{4}a^{\dagger}a^{\dagger}a^{2}$.

Решение задачи (7), (8) наидено метолом неопределенных коэффициентов. Оно имеет вид

$$\widetilde{h} = \frac{H_0}{p} \exp\left(\frac{a}{2}z\right) + \frac{H_0R}{\Delta} \left[\sqrt{\frac{\alpha+p}{a^*}} \operatorname{ch} \sqrt{\frac{\alpha+p}{a^*}} (T-z) - \frac{a}{2} \operatorname{sh} \sqrt{\frac{\alpha+p}{a^*}} (T-z) \right],$$
(9)

где

$$R = \frac{2s_{ep} - H_0}{H_0 p} \exp\left(\frac{a}{2} s_{ep}\right).$$

$$\Delta = \sqrt{\frac{a+p}{a^*}} \operatorname{ch} \sqrt{\frac{a+p}{a^*}} (T - s_{ep}) - \frac{a}{2} \operatorname{sh} \sqrt{\frac{a+p}{a^*}} (T - s_{ep}).$$

Представим решенте (9) в инде отношения обобщенных подинамов относительно р

$$\bar{h} = \frac{\Phi(p)}{\Psi(p)}.$$

где

$$\Phi(p) = (2s_{co} - H_0) \left[\sinh \sqrt{\frac{\alpha + p}{a^*}} (T - z) - \frac{a}{2} \sqrt{\frac{\alpha^*}{\alpha + p}} \sinh \sqrt{\frac{\alpha + p}{a^*}} (T - z) \right] \exp\left(\frac{a}{2} s_{cp}\right) + \frac{\Delta H_0}{a} \sqrt{\frac{a^*}{\alpha + p}} \exp\left(\frac{a}{2} z\right).$$

$$\Psi(p) = \Delta p \sqrt{\frac{a^*}{\alpha + p}}.$$

Для функции h все условия георемы обращения выполнены, поэтому

$$h = L^{-1} \frac{\Phi(p)}{\Psi(p)} = \sum_{n=0}^{\infty} \frac{\Phi(p_n)}{\Psi(p_n)} \exp(p_n t),$$

где ρ_n — кории уравиения $\Psi(p)=0$. Кории функции $\Psi(p)$ суть p=0 и ρ_n $(n=1,\ 2,\ 3,\dots)$ характеристического ураниения

$$\frac{1}{a} \frac{1}{p} (T - s_{\rm up}) - \frac{2}{a} i \sqrt{\frac{x + p}{a^*}} .$$
 Если обозначить $i \sqrt{\frac{x - p}{a}} (T - s_{\rm up}) = \tau$ то $p_n = -x - \frac{a^*}{(T - s_{\rm up})^2} p_a^2$, где π — кории гранецендентного уравнения

$$4g = \frac{9}{a(T-s)}$$
. (10)

После некоторых вычислений и преобразований с учетом характеристического уравнения получим

$$h = 2s_{cp} \exp\left(\frac{a}{2}z\right) + M\sum_{cp} \frac{\mu_n}{T}$$

$$\frac{1}{[2a(T-s_{cp})-(T-s_{cp})^2-4\mu^2]\cos \mu_n}$$

$$\frac{1}{[T-s_{cp})} = \frac{a}{[T-s_{cp})^2-4\mu^2]\cos \mu_n}$$

$$\frac{1}{[T-s_{cp})} = \frac{a}{[T-s_{cp})} \exp\left(\frac{a}{T-s_{cp}}\right).$$

Приведем решение первоначальной задачи (1), (2):

$$H(z; t) = -s(t) + 2s_{cp} + M \exp\left(-\frac{a}{2}z\right) \sum_{n=1}^{\infty} \frac{1}{a(T - s_{cp})^2 + a^* \mu_n^2} \times \frac{a}{2} \frac{(T - s_{cp}) \sin \frac{\mu_r(T - z)}{T - s_{cp}} - \mu_n \cos \frac{\mu_n(T - z)}{T - s_{cp}}}{[2a(T - s_{cp}) - a^2(T - s_{cp})^2 - 4u^2] \cos u_n} \times \exp\left[-\frac{a^* \mu_n^2 t}{(T - s_{cp})^2}\right]. \tag{11}$$

Сумма первых двух слагаемых выражения (11) представляет ассимптотическое решение задачи для больших значений времени, когда практически завершен процесс пеустановившейся фильтрации и тем самым завершена теформации слоя грунта. Ряд в (11) быстро сходящийся, поэтому для практики достаточно удовлетвориться первыми несколь к ими членами ряда. С этой целью ниже в таблице приводятся значения вервых семя корпей уравнения (10) для достаточно общирных значе-

ини безразмерной величины
$$2 = \frac{2}{a (T - s_{co})}$$

Кории трансцендентного уравнения (10) можно найти графически, а если требуется большая точность—численными методами на ЭВМ. Заметим, что кории уравнения (10) возрастают с возрастанием пидекса t, τ , e, p_{t-1} μ (t=1, 2, 3, ...) и для достаточно больших N имеем $p_{N-1} = p_N \approx \pi$.

В решение (11) входит неизвестная функция осадки s(t). Ес мого заменить средней величной от как это было сделано раньше при рассмотрении граничных условий задачи. В тех случаях, когда такое осреднение считается грубым, можно определить осадку слоя s(t) и подставить в (11).

en serie e

Наидем осадку s(!) по формуле

$$s(t) = k \int_{0}^{\infty} \frac{\partial H}{\partial z} dt.$$

Посл. несложных преобразовании имеем:

$$s(t) = -8k (H_0 - 2s_{eq})(T - s_{eq}) \times$$

$$= \sum_{n=1}^{\infty} \frac{u^{2} \left[1 - \exp\left(-\alpha t - \frac{a^{*} \mu_{n}^{2} t}{(T - s_{cp})^{2}}\right)\right]}{\left[4a^{2} - 2a\left(T - s_{cp}\right) + a^{*}\left(T - s_{cp}\right)^{2}\right]\left[2(T - s_{cp})^{2} + a^{*} \mu_{n}^{2}\right]}$$
(12)

Таблица

					100Au		
δ	751	29	tr 3	79.	ne	24	26
0,1	n	3,4761	6,8862	10,2211	13,4996	16,7403	19.9558
0.2	0	3,7902	7,2302	10,5531	1374996	16,7403	20,1774
0,3	0	4,0220	7,4324	10,6934	13,9019	17,0361	20,2573
0.4	0	4,1726	7,5336	10,7674	13,9600	17,1339	20,2978
0.5	0	4,2717	7,5966	10,8127	13,9952	17,1628	20,3223
0.6	n	4.3462	7,6392	10,9430	14,0189	17,1821	20,3386
0,7	0	4,3983	7,6698	10,8648	14,0357	17,1959	20,3593
0,8	E .	4.4378	7,6929	10,8812	14,0484	17,2062	20,3950
0.9	Ü	4,4687	7,7109	10,8939	14,0593	17,2143	20,3659
1	0	4,4934	7,1253	10,9011	14,0662	17,2208	20,3713
1.5	0.9674	4,5675	7,7684	10,9347	14,6899	17,2401	20,3877
2	1,1656	4,6042	7,7900	10,9499	14,1017	17,2498	20,3958
2,5	1,2644	4,6251	7 (8028	10,9591	14,1088	17,2556	20,4 (08
3	1,3242	4.6407	7,8113	10,9652	14,1136	17, 2595	20,4040
3,5	1.3644	4,6510	7+8175	10,9693	14,1169	17,2622	20,4064
4	1.3932	14+6588	7,8203	10,9728	11.1195	17,2613	20, 1081
10	1,5044	4,6911	7,8412	10,9865	14,1301	17,2730	20,4155
30	1,5493	4,7053	7.8497	10,9926	14,1348	17,2768	20,4187
50	1,5580	4,7081	7,8514	10,9938	14,1358	17,2776	20,4194
70	1,5617	4,7098	7.8522	10,9943	14,1362	17,2779	20,4197
100	1,5644	4,7103	7,8527	10,9947	14,1365	17,2782	20,4199

Таким образом, решение поставленной задачи дается формулой (11), в которой функция s(t) определяется по выражению (12).

В заключении отметим, ято из полученимх решений при $s_{\rm cp}{=}0$ следуют решения для задачи с дополнительными условиями

$$H(z; 0) = H_0, \quad H_{1, -0} = 0, \quad \frac{\partial H}{\partial z} \Big|_{z = T} = 0,$$
 (13)

соответствующие наличию дренажа на верхнем основании слоя грунтаи водоупора на нижнем основании слоя. В этом случае, например, решение (11) будет

$$H(z; t) = -s(t) + M_n \exp\left(-\frac{a}{2}z\right) \times \sum_{n=1}^{\infty} \frac{\mu_n \left(T - z\right)}{2\pi \ln \frac{\mu_n \left(T - z\right)}{T} - \mu_n \cos\frac{\mu_n \left(T - z\right)}{T}\right]}{(2aT - a^2T^2 - 4\mu^2)\cos\mu_n \left(\alpha T^2 + \alpha^2 \pi^2\right)} \times \exp\left(-\alpha t - \frac{a^2\mu_n^2 t}{T^2}\right).$$

где $M_0=4a_0^*H_0T$, μ_n — кории уравнения $\lg\mu=\frac{2}{aT}\mu$.

Формула осалки слоя грунта в момент времени і (12) переходит в следующую формулу:

$$s(t) = -s_{\perp} \frac{8a_{\pi}^{2} \left[1 - \exp\left(-\frac{a_{\perp} - a_{\perp}^{2}}{T^{2}}\right)\right]}{(4\pi^{2} - 2aT + a^{2}T^{2})\left[\left(-\frac{a_{\perp}}{2}\right) + a_{\perp}\right]}$$

где $s_{\perp} = \frac{\overline{a} \, q \, T}{1 + e_{\perp}}$ — конечный осадок слоя грунга.

Условия (13) в настоящее время применяются при решении задач фильтрации в деформируемых груптах.

ЕрПИ им К. Маркеа

29, 111, 1986

տ Մ, Բևրսեղծաչ

ԾԾԱՆՑՈՒՄԸ ՍԵՎՄԵԼԻ ՔՆԱՀՈՂԵՐՈՒՄ ՇՆՐՏԻ ԵԶՐԻ ՎՐԱ ՔԱՄՆԱՆ ԶՐԻ ՔԱՆԱՆԻ ՀԱՇՎԱՌՄԱՄՔ

lk d den den i d

Ջրահագեցած սեղմելի հողաչերտի արտաթին եզրի մրա ազդող ուժի
շնորհիվ կատարվում է օրի ծծանցում։ Ներկայումս ծծանցման տարբեր խրնդերներ դիտարկելիս հաշվի չի տոնվում բնատողի ծակոտկեններից աստավուծ
ջրի բանակի ազդեցությունը ծծանցման ընթացլի վրա։ Մինչդեռ, հատկաայն ուժեղ սեղմելի բնահողերի համար այց հանգամանքի հայվի առնելը
անի որոշակի նշանակություն։ Աշխատանքում արվում է ծծանցման հավասարման լուժումը, որը հաշվի է առնում բնահողի ղեֆորմացիան և ծծանցման
բնիացրում բնահոգի փուլերի միջն հարաբերության փոփոխությունը։ Մի հգրային խնդրի լուժման մեջ հաշվի է առնվում ծծանցման բնիացրում բամ
վող հեղուկի բանակության ազդեցությունը։ Գտնված է բնահողի շերտի նրստմածքը ժամ հասի ցանկացած պահին

ЛИТЕРАТУРА

 Барсесян Р. М. Основные ур ынения фильтрации а деформ прусмых грунтах //ЛАН СССР —1980 Т. 252, № 4.—С 817—820

Man, All AparCCP (cep. TH), r XLI, Nr 6, 1988

НАУЧНЫЕ ЗАМЕТКИ

Э А. ДЖАНГУЛЯН

КИНЕМАТИЧЕСКИЕ ПАРАМЕТРЫ РОТОРНЫХ И ЦЕПНЫХ РАБОЧИХ ОБОРУДОВАНИЙ ТРАНШЕЙНЫХ ЭКСКАВАТОРОВ

Рабочим оборудованием роторных экскаваторов является ротор, по периметру которого жестко прикреплены ковин или скребки.

Толицина снимаемой роторным рабочим оборудованием грунтовой стружки перемениия, она непрерывно увеличивается и процессе кона ния, а сама стружка имеет серповидную форму.

Объем грунтовой стружки 1', снимаемой одним ковшом или скребком (рис.1), равен

$$V = \delta' \hbar R (1 - \cos \varphi_1),$$

где δ' —максимальная толщина, соответствующая полному углу \mathfrak{q}_1 поворота ротора; b—ширина синмаемой стружки

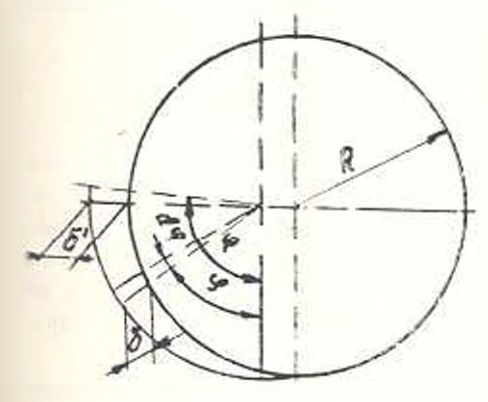
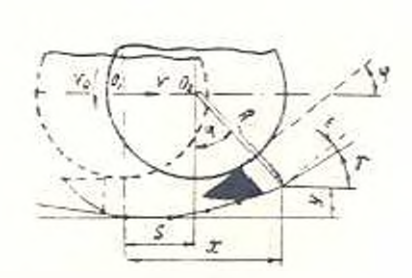


Рис. 1.



Pitc. 2.

Режущие кромки роторного рабочего оборудования в процессе рытья траншен совершают сложное данжение: пращательное V_0 совместно с ротором и поступательное V_1 —с экскаватором. Согласно принятым на схеме обозначениям (рис. 2), траектория режущей кромки будет [1]

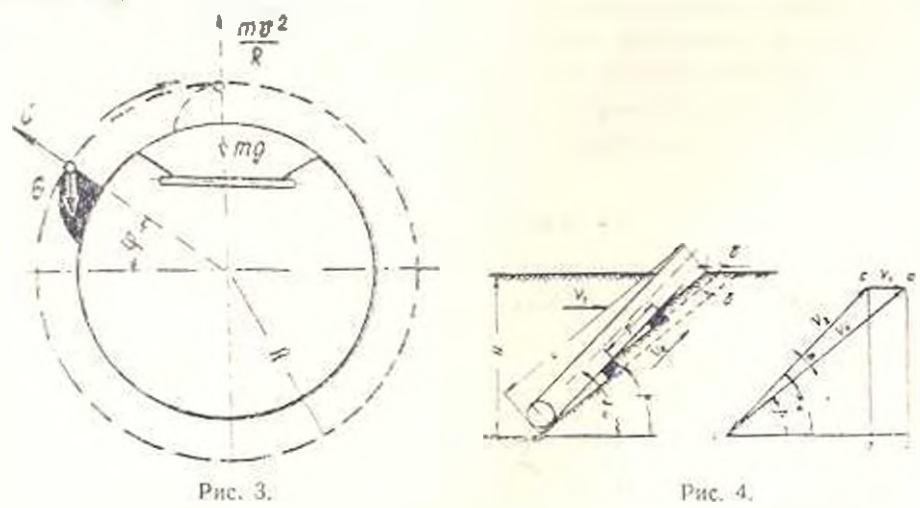
$$tg \gamma = \frac{R \sin \varphi}{R \cos \varphi}$$

где
$$k = \frac{v_1 R}{v_0}$$

Угол у называется «кинематическим» урлом резания, значение егоменьше геометрического угла резания q: $\phi - \gamma = \epsilon = (4-6)^{\circ}$.

Скорость резания должна обеспечивать гра-итаци иные высыпания грунтовых частии, а траежтория высыпающих грунтовых частии—соответствовать положению конвейера, установленного для отвала грунта. Если условно принять, что действующая на грунтовую частину центро-

бежная $C=\frac{\pi}{2}$ и гравитационная силы равны между собой и действуют на частицу равнозначно (рис. 3), то высыпание частиц не произойдет. Скорость, соотнетствующая этому случаю, будет V=-1 Rg. Скорость v_n называется "критической". Если $v_n>1$ Rg, то имеет место инерционная выписка частиц, если же $v_n=1$ Rg—гравитационная. На практике скорос в вращения ротора принимает ≈ 0.51 Rg.



При ливких груптах, например, скорость вращения ротора обязательно должна енижаться с учетом сил слепления частиц к коншам или скребкам. Этим и объясняется тенденция иметь в конструкциях современных роторных эксканаторов различные скорости вращения ротора $\Gamma_0 = 1.5 - 3$ м/с.

В рабочем оборудования цепных граншейных экскаватор в тиговым органом является бесконечная цель, на которой укреплен ряд ковшей или скребкол. Из практики эксплуатации траншейных экскаваторов с ценным рабочим оборудованием известно, что произволительность экскаватора зависит от числа разгрузок ковшей или скребков Z. Очевилно, чтобы яовысить произволительность, издо увеличить Z. а для этого достаточно либо увеличить скорость v₂, либо уменьшить шаг T. Однако, увеличение Z ограничивается взаимосвязью между v₂ и T, несоблюдение которой вызывает нарушение пормальных условий высыпания грунта.

С увеличением скорости рабочей дени возначают дентрабежаме силы, что приводит к перебразыванию в да грунта. При пиналу грун

тах к дентробежным силам присоединяются силы липкости, препятствующие высыванию группа. С уменьшением шага Т происходит пересыпание грунта из ковща в кови. Число Z в эксказаторах современных конструкций колеблется в пределах: ущенных от 35 до 80, у роторных от 40 до 100 в минуту.

Процесс конания ценным рабочим оборудованием осуществляется го-и куппостью двух рабочих движений; движением экскаватора со скоростью v_1 и рабочен цени с ускоростью —

Часто скорость резания v_0 (рис. 1) отождествляют со скоростью рабочей цели v_0 Между тем вектор скорости резания (трасктория «истинного» персмещения режущей кромки) отклонен от нектора скорости рабочей цели на некоторый «кинематический» угол в

$$\theta = \sigma_0 - \text{arc lift} \frac{\tau_0 \sin \sigma_0}{\cos \sigma} - \tau_1$$

где

$$arc tg = \frac{v_{1a}}{a_0} \frac{\sin a_0}{a_1}$$

Сравнительно большая разница между v_2 и v_4 сближает v_0 и v_2 . Сближение доходит до пределов $v_2\approx 0.99$ и [2] Следовательно, иля траншейных экскаваторов с цепным рабочим оборудованием толицину снимаемой грунточой стружки согласно ехеме рис. 4 следует определить следующим образом:

$$v_1 = \frac{v_1 T}{v_2} \sin z_2.$$

Таким образом, имея основные нараметры—скорость резания и толинину синмаемой груптовой стружки, иструлго спределить производительность, энергоемкость и удельные показателя экскаваторов с рассматриваемыми роторным и цепным рабочим оборудованием.

Er dan HMHIKC

2 VI. 1987

ЛИТЕРАТУРА

1 Землеройные мание ы непрерывные о денствия — 3. Е. Гароужев, В. К. Ильгисовис, Г. А. Мутунк в и — М—Л. Маши о грасияс, 1908—174 с.

2. Догангулян Э. А. Проблемы и х. пической разрациям транцей.—Преван; Пал-во АН АрмССР, 1983.—197 с

Г. Б. МУРАЛЯН

О СОВЕРШЕНСТВОВАНИИ ОРГАНИЗАЦИОННЫХ СИСТЕМ МНОГОЭТАПНОГО МАССОВОГО ОБСЛУЖИВАНИЯ

В организационных системах при практической реализации многоэталного обслуживания потоков заявок обычно рассматривается задача выявления этапа с наименьшей пропускной способностью узкого звена» с целью ее распиренля и, тем самым, минимизации суммарного премени прохождения заявок по всем этапам. Однако, при такой постановке решение может носить лишь ограниченный характер, поскольку при этом не затрагиваются пропускные способности других этапов, которые также могут оказаться сдерживающями. Кроме того, не учитываются этапы с неоправданно высокой пропускной способностью, снижающие эффективность всей системы.

Рассмотрим следующую задачу. Иместея система многоэтанного обслуживания заявок, в которой выходной поток одного этапа является входным для сле по цего: а) число этапав $i=1, 2, \dots$ б) интенсивность потока заявок λ , по мере прохождения этапов может убивать. В общем случае $\lambda_{i+1} \leqslant \lambda_i$; в) время обслуживания заявок на каждом этапе -величина случайная с математическим ожиланием $\frac{1}{v_i}$. Соответственно число заявок, обслуживаемых одним человеком за единицу премени, на каждом этапе равно v_i ;) численность обслуживающего персонала на каждом этапе — n_i ; 1) время ожидания обслуживающего персонала на каждом этапе— n_i ; 1) время ожидания обслуживания на

е) заявки обслуживаются в порядке хронологической очередности.

каждом этапе не ограничено. При этом естественно условне

Вместе с тем известно V, —максимально допустимая численность обслуживающего персонала на каждом этапе.

Необходимо максимизировать пропускную способность системы, устранив одновременно избыточность на тех этапах, где она имеется. Задача по сути сводится к сглаживанию пропускной способности системы на возможно высоком уровяе. Осуществить это можно следующим образом.

Пропускная способность этапа τ_i —среднее число заявок, обилуживаемых за единицу времени, принимается пропорциональной численности обслуживающего переснала $\tau_i = \sigma_i \pi_i$.

Максимальная пропускиая способность этаног разна

$$\max \gamma_i = v_i N_i.$$

Максимальная пропуский епособ ость системы, т. е. «узкого наша», для которой i=t, равна

$$\min\max_{i} = \max_{j} \gamma_i = v_j N_j$$

Поскольку v_4N_2 является максимально возможной пропускной способностью всей системы, то ей соответствует минимум времени пребывання заявок в системе. На этапах пропускная способность избыточна. С целью устранения этой избыточности и повышения экономичности системы необходимо добиться

$$\gamma_{i,j} = v_i N_j \to \min \tag{1}$$

при условии $v_i N_i$.

Минимизация (1) может быть достигнута соответсвующим уменьшением $n_{\rm max}$.

В тех случаях, когда абсолютный приоритет отдается пропускной способности системы, на численность персонала ограничения не устанавливаются. Однако реальны ситуации, когда необходимо соблюсти определенные ограничения или по численности обслуживающего персонала по всей системе в целом

$$\sum_{i=1}^{n} n_i \leqslant N,\tag{2}$$

или же по некоторой совокупности этапов, относящихся, например, к одной структурной единице системы

$$\sum_{i \in r} n_i \leq N_r, \qquad \text{rae } r \subset p. \tag{3}$$

Если при т. ограничения (2) или (3) не соблюдяются, то необходимо определить

$$\gamma_{\rm A}=v_{\rm s}N_{\rm s}, \quad \gamma_{\rm f}=v_{\rm f}N_{\rm f}, \quad \gamma_{\rm s}=v_{\rm s}N_{\rm s}, \quad {\rm if} \ {\rm t.} \ {\rm A.s.}$$

THE TISTA TISTAL ...

Затем, постепенно уменьшая пропускную способность системы и сглаживая по (1), проверять указанные ограничения до нахождения искомой ум, при которой ограничения удовлетворяются, т. е.

$$\gamma_{t+k} - \gamma_k N_k \to \min,$$

при также у Ма

Эффективность предлагаемого метода складывается за счет повышения пропускной способности всей системы обслуживания в целом, т. е. миниминации времени пребывания заявки в системе и за счет экономии ресурсов путем снижения пропускной способности на тех этапах, гл. эна избыточна.

Еринии АСУГ

5. X 1986

T. A. HAJIRIL, T. B. JAPBILHRH

ОСОБЕННОСТИ СХЕМ ОБРАБОТКИ ФАСОК СЛОЖНЫХ КОПТУРОВ

Большой класс изделий, предназначениях для передали нагрузка а соединениях машии (инлицевой нал. зубчатое колесо и г.д.), имеют сложный контур (СК) в торцевом сечении, Наличие ф.ски по СК таках деталей улучшает условия их сборки, повышает належность работы, уменьшает возможности травматиама и т. д.

Рассматринаемые СК являются плоскими, могут иметь переменный ралнуе хривизны или отличаются ломакой формой. СК1 (рас. 1) образован от пересечения рабочей поверхности 2 и плоскости торца 3. Поверхность фаски 4 образуется перемещением образующей 5 ядоль контура 6, идентичного со СК 1 и расположенного на величину катета / фаски от плоскости торца При этом образующая 5 всегда расположена в плоскости, пормальной к СК, и составляет с плоскостью угол ф4 = 90° — α . α — угол фаски).

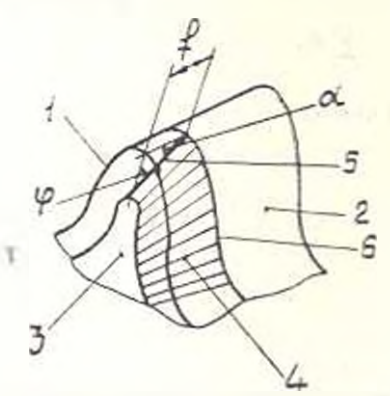


Рис. 1 Элементы поверхности фаски сложного контура-

Существующие способы обработка фасок сложных контуров [1] не учитывают специфинеские геометрические особенности поверхности фаски (длина контура во много раз превышает размеры катетов фаски). Разработанный в ЗФ ЭНИМС технологический процесс обработки фасок на СК отличается и известных как поставом формообразующих движений (формообразующей системой—ФС), так и схемой обработки, учитывающей эсобенности поверхності фаскі. Предложены три основные ФС для внешнах зубчатых контуров, воспроизводимых движеннем обхата, а любых други контуров (внешнах и внутренних), невоспроизводимых движением обхата.

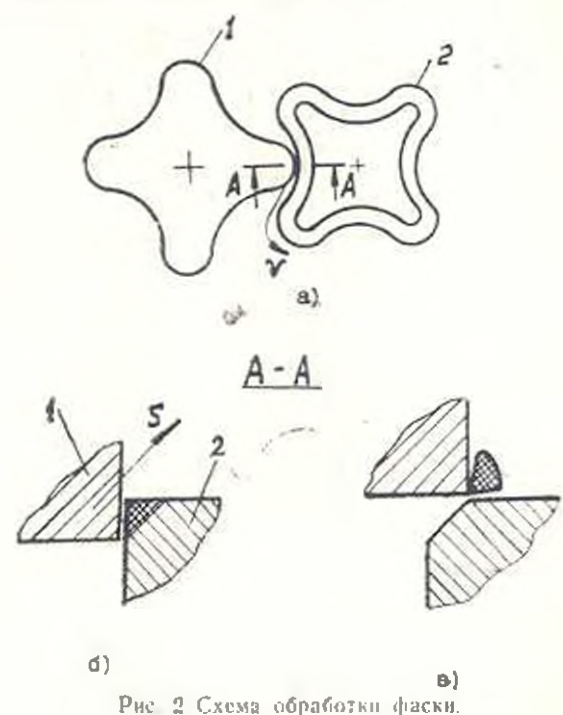
В первой ФС применяются движание обката и поступательно-кругового движения ПКД по конусу с углом пр. вершиме, равным длойному углу фаски.

Во второй ФС применяется движение обката и внитовое движение с углом подъема, равным углу фаски.

Третья ФС основана на ПКД по конусу [2].

В первых двух ФС контуры инструмонта и детали являются взаимообкатываемыми, а с третьей ФС—совпадают или являются эквидистантными.

Для неех ФС разработана общая ехема обработки [3], которая предполагает прохождение инструмента 1 (рис. 2a) вдоль СК2 со скоростью в главного движения резания и вдоль образующей (рис. 6, в) со скоростью в движения подачи. После каждого полного воспроизведения СК инструмент дискретно веремещается по образующей, постепенно вытееняя припуск треугольного сечения на горцевую поверхность (рис. 26 до. в—после обработки)



Треугольная форма удаляемого припуска идедопределяет резко выраженный неустановившийся уарактер процесса резаиня. Величина уснлия обработки зависит от обрабатываемого материала, величины катега фаски, количества и протяженности одновременно обрабатываемых участков СК. Определение последних двух факторов при обработке фасок эвольвентных зубьев зубчатых колее методом обката не представляет труднолен, т. к. количество одновременно обрабатываемых зубьев равняется кол честву одновременно зацемляемых патаубьев, а общая длина контакта в зоне обработки имеет малую величину.

Рассмотрим аналогичную задачу при обработке фасок с применением ПКД по поверхности конуса, Контур инструмента I (рис. 3, где показан торцевой контур шлицевого валя) и СК 2 (торцевой контур деталя со шлицевым отверстием) вращаются синхронно ($\omega_{\rm H} = \omega_{\rm H}$)-вохруг нараллельных осей $\sigma_{\rm H}$ и $\sigma_{\rm R}$. В начале обработки шлицевой контур введен в шлицевое отверстие на величину катета обрабатываемой фаски. Обработка происходит, когда расстояние между осями вращения увеличивается и заканчивается выходом контура виструмента на торем детали. При этом на горце детали оразуется линия 3—экиндистантива сложному контуру 2.

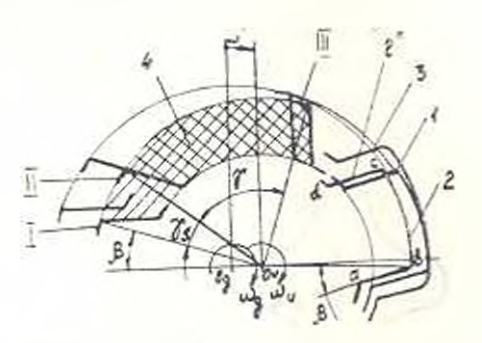


Рис. 3 Схема определения зоны контакта инструмента и детали.

Суммарная длана контакта контуров инструмента и детали в процессе обработки зависит от формы обрабатываемого контура и значений двух формообразующих параметров: угла вращения контуров и расстояния $\sigma_0 \sigma_1$ между осями вращения. Решение задачи ооновывается на определении величины и расположения зои контакта, представляющих собой части траекторий отдельных участков СК инструмента, где произходит висдрение инструмента в тело детали. Рассмотрение отдельных учас к в СК инструмента вместо всего контура значительно упрощает метолику впределения длины контактной линии. Величина зоны обработка зависит от расстояния между осями вращения, а ее расположение от ориентанти участка контура виструмента относительно радиуса вришения. На рис. З приведена ехема для определения расположения и величины зоны контакта правого профиля аб изивиеного контура инструмента 2, ориентированного под углом в по отношению к радиусу $\sigma_0 b$.

Для участка *ab* зов ій обработки является сектор кругового кольца 4. величина центрального угла у которого зависит от порядков в немера і приращения нараметра полачи s вдоль образующей фаски

$$\gamma = 90^{\circ} - \gamma_s = 90^{\circ} - \arcsin \frac{i}{i+1}$$

гле $0 < i < i_m$. $i_m = \frac{1}{\Delta t_n} \cdot f_n$ — торцевой катет фаски, Δt_n — приращение параметра подачи вдоль торцевого катета фаски.

Максимальное значение у равняется прямому углу, причем, начальному контакту соответствует его сторона, парадлельная направлению полачи, а конечному—перисидикулярная. По мере обработки зона контакта сужается на величину уг. Вся зона контакта ориситирована отвосительно направления подачи под углом в. равным углу сриентации данного участка СК инструмента. На рис. 3 положение 1 и 111 контура инструмента соответствуют началу и концу зоны обработки, а положение 11 текущее, определяемое углом чести.

Аналогично определяются зоны контакта других (например, левого профиля cd, дуги окружности cb и т. д.) профилей и при фиксированных значениях угла вращения и расстояния между осями рассчитывается суммарная длина контактной линии. Разработана блок-схсма для расчета на ЭВМ длины контактной линии и ее изменения в процессе обработки.

Силовые характеристики, определенные с учетом треугольной формы прапуска и его длины, равной существоем длине контактион линти, дают возможность рассчитать жесткость звеньев ФС при проектировании оборудования для снятия фасок на СК.

НИО «Аристаков»

5, 1X, 1986

ЛИТЕРАТУРА

- Бурштейн И Е., Коротков Ю. И. Черкоморский И. С. Механизация синтом фасок и зауклением на зублатых колесах. М.: Машиностроение. 1966.—92c
- Налан Г. А. Воэможности применения экиндистантного хоньоозания при обработке сложнопрофильных этелений // Нав. А11 АрмССР. Сер. ТП.—1985.—Т. XXXVIII. № 1.—с. 43—17.
- 3 Л г. 1122456 СССР, МКПР В23F 19,10. Способ обработки фасок по профилю пубыев аублатых колес / Г. А. Налян. Г. В. Дарбинян (СССР) —№ 3656199/25—08; Заяв 27, 10, 83; Опубл. 07, 11, 84, Бюл. № 41

Пат АН АриССР (сер. ТН), т XLI, № 6, 1988

НАУЧНЫЕ ЗАМЕТКИ

о в. токмаджян

МЕТОДЫ ГИДРАВЛИЧЕСКОГО РАСЧЕТА БОКОВОГО ВОДОСЛИВА

Гидравлическому расчету бокового водослива посвящено много работ, по их результаты в большинстве противоречины. Экспериментальные исследования бокового водослива в призматическом канале, проведенные X. Энгельсом, показали, что в водосливной зоне глубина потока по пути возрастает, а в исследованиях Колемана и Смита получен противоположный результат. Согласно Де-Марки первое имеет место при спокойном, второе—при бурном режиме дв гжения жилкости. Он же предложил гипотезу о том, что удельная энергия сечения по всему фронту бохового водослива остается постоянной. Но это имеет често твив-

ко в том случае, когда коэффицаент изменяющихся масс $a=\frac{1}{2}-1$, где v_* —проекция окорости отсоединяющихся частиц по направлению движения основного потока, а v—средняя скорость движения основного потока. В [1] находят эту гипотезу источной и предлагается при расчетах принять a=0, но согласно [21 расхождения при u=1 составлюют 5%, а при u=0-45-50% Согласно [3, 4] наименьшие расхождения между экспериментом и расчетными дамизми получаются при значениях u=0.9-1.2.

Гидравлический расчет бокового водослива нелесообразно произвести на ЭВМ методом непосредственного интегрирования системы дифференциальных уравнений перавномерного движения жидкости и сливного расхода [5]

$$\frac{dh}{dl} = \frac{\sin \varphi_0 - \frac{Q^0}{\Lambda^2 c^2 R} + \frac{sQ^0}{gA^2} \cdot \frac{\partial A}{\partial l} - \frac{sQ}{gA^2} \cdot (2-a) \frac{dQ}{dl}}{\cos \varphi_0 - \frac{sQ^0}{gA^2} \cdot \frac{\partial A}{\partial h}}$$

$$\frac{dQ}{dl} = -m_b V 2g_c(h-p)^{c_0}. \quad (1)$$

В предложенной расчетной схеме приняты следующие допущения, а) движение установившееся;

- б) коэффициент изменяющихся маес привимается постоянным;
- в) пренебрегаются центробежными сплами, возникающими яз-за искривления свободной поверхности, вследствие чего в расчетной схеме отсутствуют таки: местные явления, жак сжатие потока до водослива и нагон потока к водосливу:
- г) теоретически точное определение значения кожффициента бокового водослива пока не представляется возможным. При расчетах можно использовать эмпирические зависимости, приведенные в [4].

На практике могут встречаться три осисвных случая гидравлического расчета бокового водослива.

1. Известны расходы до и после водосливной зоны, а также геомстрические нараметры русла (шприна b_1 и b_2 в начальном и конечном сечениях водослива, уклополь, коэффициент шероховаться a_1 высота норога водослива).

Требуется определить длину фронта водослива L и построить кривую свободной поверхности.

а) Режим движения бурный, расход водослива $Q_n = Q_1 - Q_2$. Гранячными условиями системы дифференциальных уравнений (1) при бурном режиме движения являются расход и глубина в начале водослива Q_1 и h_1 Значение глубины h_1 в зависимости от Q_1 определяется из гидравлического расчета канала до водослива. Интегрирование системы

- (1) производится до сечения, где расход потока $Q=Q_2$ Соответствую щая этому расходу длина l будет длиной фронта волисливной зоны L_a , а координаты h=h(l) в зоне интегрирования—координатами кривой свободной поверхнисти.
- б) Режим движения—спокойный. Граничными условиями системы (1) являются расход и глубина в консчиом сечении водослива Q_2 и h_2 . Значение глубины h_2 в зависимости от Q_2 определяется из гидравлического расчета канала за волосливом. Интегрируя систему (1) в обратном к движению направления до сечения, где расход потока $Q=Q_1$ определяем длину фронта волослина L_p и координаты кривой свободной поверхности.

Пример. В водосливной зоне канала прямоугольного поперечного сечения режим движения спокойный. Известны значения: $Q_1 = 30 \text{ м}^3 \text{ c}$, $b_1 = b_2 = 16 \text{ m}$, $\sin \phi_0 = 0.0001$, n = 0.013. p = 1.07 m, $h_2 = 1.24 \text{ m}$, $m_1 = 0.254$, $Q_2 = 16 \text{ m}^3 \text{ c}$, n = 1.

Требуется определять альну фронта бокового водослива L_{μ} и построить координаты кривой своб этной поверхности.

Результаты интегрирования по вышензложенному истоду приведены в таблице.

							Таблица
1. st	Ü	50	100	150	200	250	284
Q. M. C	16	19.61	22,59	25,05	27,11	29,91	30.02
h, st	1,24	1,22	1,201	1,186	1,175	1,166	1.163

Согласно расчетам дляна фронта волосляна $L_u = 1.163$ м.

Тот же пример, рассчитациый по методам в [4], дает ощутимо завышенные результаты: $h_1 = 1.135 \text{ м}, L = 316 \text{ м}$

2. Известны расход в начальном сечении водосливной зоны Q_1 , а также все геометрические нараметры русла. Требуется определить расход водослива Q_1 и построить кривую свободной поверх π , τu .

Метод расчета второго случая полностью приведен в [5].

- 3. Известны расуод в конечном сечения водосливной зоны Q_{ij} а также все геомстрические параметры русла. Требуется определить расход водослива Q_{ij} и построить кризую свободы и певерхности.
- в) Режим движовия—бурный. Граничными условиями системы (1) являются глубия и расхот в начальном тетении водосливной воны $Q_1,\,h_1$. Согласно произвольно взятому расходу Q_1 ю гидравлическому расчету канала и послива инперементация в врующая ему глубина h_1 . Питегрируя систему (1) I=L, строится кривая $Q=f(Q_1)$. По донному вначению Q_2 определяется соответствующий ему рисход Q_1 и вычисляется вначение начальной глубины h_1 . Интегрируя систему (1), согласно полученным граничным условиям, определяем координати свободной понерхи или.

б) Режим движения—спокойный, Граничные условия системы (1) являются расход и глубина в консчиом сечении водосливной зоны Q₂, h₂. Согласно заданному расходу по гиправлическим расчетам капала за водосливом определяется соответствующая ему глубина h₂. Интегрирование системы (1) производител в образном к направлению движения до начального селения подосливной зоны.

ЕрГП им. К. Маркса

25 VI, 1986

ЛИГЕРАТУРА

- I. Петров Г. А. Гедрандака переменной массы,—Харьков Илд. во XTV 1964.—224 с.
- Навоян X. А. Примеры гидравлических расчетов подопропульных поружений Киев, Будивильник 1975.—148 с.
- 3 Токмоожич О. В., Боложин П. О. Экспериментальные исследования бокомого подослева при матическом русле // Вопросы мелноражие и оодного х-гипства АрмССР —1985. -Вып XI — С. 173—178
- 4 Кирганов А. М., Динанк В. Д., Гидрявлический расчет подопропускных сооружешин — Киев: Будиопльник, 1982. —96 с.
- Б. Гокладжан О. В. Гидравлический раслет боксоого водослава в непризматическом русле II Иза. АН А-мССР. Сер. ТН.—1963.—Т. XXXVI, М. 3. С. 38—41.

<u>የበዚዜъዓዚ</u>ኳብእዮՑበኑኩ

«ՀՍՍՀ ԳԱ տեղեկագիբ (տեխնիկական գիտությունների սեբիա)» նանդեսի 41-բդ նատոբի

เศกธ์สสเทศอนาสสส

ત . ઘ.	Բարսյան, Ն. Ի. Գրիգույան, Գ. Ա. Վասաբյան։ <i>Իր թրիրոային ազացների խը-</i>	
11 6	ցերի թե և հաղորդվող հզորություն որոշունը	2-3
	Գուբանյան։ Ինվերսորային խմբերի և նրանց մեխանիզմների՝ կազմավորման ընդ- Հահուր սկսրունըի մասին	
	Վաքաբյան, Ս. Հ. Գասպաբյան Կրձատված տեռդականությամբ (ոգծածային	6-3
44 14,	արորձարկումներ	1 _ 2,3
4. 1.	Պատյան, Կ. Մ. Թարալյան։ <i>Արժաստե Հղկարարհրի էլեկտրակր</i> ոցիոն մշակման	1 — 61
4. 41	Հավանական օրինագրվունյունների մասին	4-3
ų, į,	Պետուսկան Մետագական փոշուց պատրաստված ֆիլարերի սա մահային բնչման	
	որոշվան ժեքիորիկա	1-11
11, 4,	Պողոսյան, ծ. Գ. Մելիքսերյան, հ. Ա. Լամբաբյանը <i>Տփական նկրդիրների թարձր</i>	
	գերմաստիմանալին մաջկանունյան մաջկարկը	2-7
Bni. 1	. Սարգոյան, Կ. Գ. Ստեփանյան, Ս. Ս. Հարությունյան; Պիեդ մարմեի տեղափո-	
	խուժենրը կառավարող առաժետ բեակային ժեխանիդմենրի բոկ-ժողուլային մա-	
	Suggen Pjack	1-3
Մ, Դ.	Ստակյան, Ա. Ս. Մհացականյան, Մ. Ժ. հղինյան հոհատրունցիոն պողպատներից	
	ատրաստված ժորբերավառերի ճարակաստեսակյան բեռակագրերի որորման վերա-	
	1 12 1	1-17
Ur. %.	- Ոտակյան, Ն. Ս. Իսախանյան, Ա. Ի. Բուիսենկո։ Հոգևաձային փորձարկումների	
	ոպտիմիղացվալ, ՝արցերը	3-3
II., T.	հաստատրան։ Գեգային և տարածական բաղժողակ ժեխ ակերժների նախագմումը	
e. di	շարի ժողելավորման ժեխողով Չավախլատ, վ. Հ. Առաք լ. և խանիցժենրի ժամնակի դինաժիկական Հավա-	1-5
[F, 4]		1-12
5. 16	սարակրոում	1-75
0. 12.	արանին գորիպուլյատարի չարձիչ ուժերի վիա	53
II. 4.	, Խեշումյան, Գ. Ս. Մաշտիշույան, հյայրե Հահղույցի տեխծիկական վիճակի ազ-	
	գնցությունը ժերևևոժասերի տեխնոլոգիական ափանիչների վրա	3-7
	ԷԼԻԵՐԱՏԵԽՆԻՍԱ	
IF. D.	Կալսայան, է. Ս. Ֆոնդիրայրան, Վ. Ի. Չիահյյան: Ինբնաքար ելևկարաժերանիկա-	
	կան համակարգերի կառուցվածրային ժողերովորում	6-12
H, II	. Կառապետյան: «հղակերգ հերառումենրով միադիսպորս համակարդում անրու-	
	ժային էլեկտրական դարար ժակերմութեային շաղորդականության շարվառժամբ	5-6
I, R.	Մանակյան, Գ. Կ. Սաֆաշյան։ Փորը հրդուներան գարերրոն բարժիչների դինա.	
	- 5, 3 and 1, 10 - 5 and 1, 10 - 5 and 15	6-12
4. Is	. Whentening inches manufactor of the popular and the same anappears of the same and the same of the s	
	and Almid land all the state of	2-31
IL. 1L	Սարտայան, Վ. Ե. Չիան յան, Վ. Գ. Քատնագյան, Հ. Հ. Գոիդույան, Ա. Ա. Վա-	
	raibudimp: Amia an find abehalband barbairail mahbarabugilud abbba-	4 11.5
11 0	աորչերի էլնկարամագնիսական պրոցեսների լուրանատկունվունները	
11 11	. Փանլեանյան: Ինքնավար Հլեկտրաքներգչարկական համակարգերում ելեկտրական «Հեբենահերի Ոմայնն մոցնյավորումը	4-13
	notenmostic termilien nudetindaliums	. — 10
	ՇԽԱՐԱՐԱԿՈՆ ՄհԽՈՆԻԿԱ, ՇԽ.ԱՐԱՐ <mark>ԱՆ ԿԱՌՈՒՑՎԱԾՔՆ</mark> ԵՐ	
2. U	. Արդան։ <i>ծրկրայարժուկան ազգեցու</i> վյունները չրջան <mark>ային կոն</mark> սոլայի <mark>ն գլանայի</mark> ն	
	Pազան Բենրի անորի կառուցվանըների վրա	

ու Ա. Կասպաթյան, Ս. Ա. Մաշգաթյան, Թ. ժու, Կասպաթյան, Ա. Կ. Մասդաբաթյան։ Ծավայրողնե ստանել ցածր Հումախական ծայնակյանիչներն ինպեցանսային բետ	
<i>Սագրերը</i>	2-25
3ու Ա. Գասպարյան, Ա. Վ. Սորակրան, Ս. Ա. Մարգարյան։ <i>Առանդական կապերի</i>	
վրա դրված հերթին պահելով ցածր Հանակակտնությունների որոշումը	2 — 19
	2-20
B. 2. Սանակյան, հ. Ո. Սաւգոյան, Հիմետեցրային կառուցվուծքային Համակարդի չեն-	
րարի ձուման և ոլորման տատանումները երկրաշափական ազգեցությունների	
դեպրում	2 - 15
Ս. Հ. հայատորան, Դ. Կ. Մառտիկյաս։ Երկրայարժակայունության այրբային	
whoseffied aguingspadule google dub daffen.	3-15
£-₹aft (**\$_\) \$\] **Jaft (
f. Pall. > 0.2 f. 12 f.	
Ա. Ս. Ավակիմով, Դ. Ա. Հայբապետյան, Թ. Պ. Աստաբյան, Ռ. 🔭 Մուբաղյան, Հյեկ	
տրավենրդետիկական Համակարդերի Հակովքեարային ավտոմատնեայի իրադոր-	
and phopolatic happendude	5-20
Ա. Մ. Վազդանյան, 5ու, Հ. Ղազաթյան, Գ. Պ. Ույանյան։ Գազատրահագորտույին ժեժ	
համակարգերի հոսրարաժանման հաշվարկի մեկ մեկիոդի մասին	1-20
E. U. Epith juli: Elkhupahan andulapah hajahanghan andhih inglian de de-	
Port dinaple	3 24
Հանվականան Տիեւհինա	
Ռ Կ, Ալմոյան, Գ Կ. Մաբջանչան, Ա, Կ. Սաֆաբյան, Հ, Ա. Մյուսիշոսյան, Պցնարդա	
դինի առավելադույնի սկզբունքի և շրադիննաի մենքողի Համեմասակուն վերլու	
ծունիանի այրացետունի գագանույին համադրման ոլրոցե օպարին -	
ման ժամանակ	2-35
II. A. Hurrquirjush Runiq-Langelneph Lahph philip hagher Mandaphash p	5 37
ՏԵԽիժանան հիցերթեիչԻԿԱ	
11. II. Varongon Paradamoner topoly informing hip and paragraph to be bear included	
	3-12
ՀԽԻստվվան, ՀիդժոՏնենինն	
M. Ա. Անանյան, Վ. Ս. Սաշգայան։ Ինահողային ջրերի և ժակոտկեն տոժ գժների որակի	
կանիորոշումը նշակարիմիկատների և պարարտանասների օդտադորժման դեպրում	3-17
D. Մ. Purulajus, Վ. Ա. Սաղաթելյան։ Ծծանցման ինդիրը սեզմվող լճամողերում	
երանց փուլերի միջև Հար հրակցովիլան փոփոխաշե Հայվատմամբ	1-34
ft. II. Amerikajuk Tambanide objekte jeku ingkoned zbjech bajeh dom puddina gob	
	6-21
u. u. uthempina, d. u umagujule: Ջրի գուդակցված հերժդումն ու արտանդումը	
71	7-40
Ա. Ա. Միկսնյուկ, Վ. Բ. Ծատույան, Տ. Գ. Գոցեռիմե։ Ալիջների ոչ դմային փոխադղեցու- թյունների անկանոն առնկունվուն յուրորուտոր ժոց՝ ավորման դե բում	33
ավչորացացություն վարավարքան Հաքասաբեր	
է. Ս. Հաբությունյան, Ա. Ա. Մուշագիսանյան, Ո. Մ Գրումեային հաջորդա-	
իտասանիցան տիանինդումը հիշադունելուն բուհակոս ընդնատ գո-բրավորում-	7 - 23
ենրի տեստերի քամար .1. Հունանյան։ Գաղամատակարարվան - քրիտորիալ և մակարգերի թ. հատակ դե.	
կավարումը	4-13
7	

1]c.	H.,	Մարևույան, վ. Գ. Խաշտուրան։ Դագամուղային Համակարգերի դարդացման և։ իրագծման ավտոմատացումը	
		ցուժուլույլ «Տելենիա	
9 to .	I,-	Amequation of the consequence of the description of the consequence o	
		LEONER LINES OF PERIOD	
3.	IJ,	Malambujutt, Q. 9. Furjus, R. Anjoutdje, O. 2. Myco-junc: Vingigue: $X181110T \cdot \rho$ guarneydan projek dendrafunifyniddeleph dendraeb el at gland de geht junjht gekonfaugduit duduruh	
		чыхимы ингенциентые	
Į,	9 %11	հատապետյան։ Լիրբային կապով սարբերով ժուտրիցային ֆոտորնդունիչներում աղ- ժուկ-ազդունչան հարարեր-ւնյան որոշումը	
		\$40.8314324 5.44P(b)3	
ſ	٦.	Հաբությունով, Թ Ս, հայտական Վիեթրայնտումի ակտիվություն - ի	
L	2	Տավաճականության բաշաժան օրենքի սա նմանումը։ Զնանգուցյան: հրաժատային երակավատորների որտորային և լղմայական բանող	
		vannadapendhiph biblidamhi magadingken	
Į.,	į.	Uplanujul: Բարձրավոլու տիրիստորային ժողելները փորձարկժան անձեղ . 4-38	
		Միոզոյան, Վ. Մ. Միոզոյան։ Պատման սարժինների արտարիս մակերնումիների	
lı.		մյակման սիզբունցային պահմաների կինենատիկական վնոյումությունը և (
u.	4.	արկան հիկել-այլումին Տուժակարգի գիֆուզիոն գոտում	
-	μ,	Voirmigub: Employers qualification in inquous quality - quality - quality - quality	
U.		կարդերի կատարելագործման մասին	
P	tin -	առանձնանանունիունները	
ſŀ.		Շատվույան։ Արժաստային գործիրի աշխատանրի վերլուժունկունը ինթետարժան	
		պայմաններում	
Am	4.	ուհկյան, Է, Պ. հուլաբյան ,շուոցային ժերհետների քրյ ուցների և ազառ կի ժա հարցակի նվացեցումը առանցա-ցմային հենարանների դրևաժիկական Հակազգում	
		ների վերացման այդերվ 1-25	
11.	U.	Պողոսյան Քարային տողափոքոնան չգիարոկան մեկանիզմի հախագծումը 4-32	
		Pariduging, 1. 4. Մաթախոսյան։ Ջրի ահետվասարաբափ յարժումը հատակի	
		hapmaka harpings negrous samply by braid	
-	12.	Բունացյան Կողային չրարայի հրդավիկական հաշվարկների մոքեորները - 4-35	
44.	(1,	Վաղաշրյակյան, Վ. Գ. Նիկողոսյան, Ա. Ռ. Մարեսոյան, Ո. Ռ. Հայշապետյան Տեխնիկական ինֆորմացիայի փետրման և արտաբերման նպումային կտորդինա։	
		աային կցորդով կազմակերպված ավարմատ երկերը համակարդ 13	
٩,	[1]	St. 6. 1. b. St. 6 in imamp & Sub in any distribute apposition and ampliant ATMN	
	4	արայի ելեկտրաբարժիչների առանցրակալային բանգույցների հուսալիություն վրա 4 -28	
U.	Ξ.	Գույուսյան։ Հաստատուն ելեկտրական դալաի ազդեցութույնը։ Հետերոդիհացման արդրեան մոտ բարձու (աշականան Հոտոլենեննաում	
		who had bounded the state of th	

СОДЕРЖАНИЕ

XIII тома журнала «Известия АН АрмССР (серия технических наук)

МАШИНОСТРОЕНИЕ	
В А. Баланн, И. О. Григория, Г. А. Касабия. Определение мощности, сообщие-	
	2-8-
С. Б. Гараняя. Об извергорных группвх и общем асминилае образования меха-	
MID-P-09-1	6-3
Н Р Джавахии, Исследование влияния различных факто, ез на дзижущие слим	
ипитографиого манипулятора	3-5
Р. П. Джанахян, В. Г. Аракелян. Частичное динамическое уравновенивание ме-	
The state of the s	1-13
А У. Зикирян С. А. Гаспарян. Испытания на устал и в сокращенной про-	1-23
должительностью . В. Л. Каньян, К. Р. Таталян О вероятностных закономерностих электрозро-	1-20
р. д. киломи, к. Р. газилия с вероктиостим закономертили электропри-	d30
знопной обработки илменных кругов	
фильтров	2—11
А. К. Предсян Н. Г. Мелик стян, Н. Л. Лимбарян. Расчеты рысокотемператур-	
пото изнашивалям фракционных ваклалок	2-7
Ю. Л. Саркисян К. Г. Степанян, С. С. Аругонян, Блочно-молульный синтез	
чубчате рычижных механизмон для управляемого перемещения твер-	
20TO Te3s	1-3
М. Г. Стакян, А. С. Мнацакльян, М. Ж. Еланян, К. определению карактеристик	
треприностойкости детилей из конструкциониих стилей	1-17
М. Г. Стакан, И. С. Исахания, 4. И. Борисенко. Востолы салом малин встыта-	- 0
ший на усталость	3-3
А. Г. Харагия, Синте в ферансиках и приграмствочных метогозвенных механи-	1 0
мов метедом влюдието минетирования A . В. Хечумян F С. Мартирован. Влияние технического со-	18
стояния ининдельного узла на технологические параметры детали	
COMME WHITETOWN AND MY LEWISCONFILM WAS ALLEN WAS AND	0-1
ЭЛЕКТРОТЕХИНКА	
- ALLAH OILAHINA	
М. С. Галстян, Э. С. Фриджибания, В. И. Чителян. Структурное моделирова-	
вие автоновних электромскопических систем	6-12
М. А Карапетян Переходное члектрическое воле в монедисперении сустеме	
го сферондальными вкличениями при учете поверхностной проволимости	
.Л. А. Манукан, Г. К. Сафарян Р счет дикамических характеристик аспикроп-	
	6-17
В. Б. Нерсисии. Определение ситимальных ссотнение и макситеся цели исхре-	
	2-31
А В Нахлеванян. Подроно молострование влекту сти у мующи в составе	
	4-12
А. А. Софиран, В. И. Читочан, В. Г. Бурназан, А. О. Грагоран, С. А. Нарунакан. Особо ости соектомация вых правосов вызваниях	
ных генераторов и установившихся режимах	
- переводу противичения ражиния в на	1 29

СТРОИТЕЛЬНАЯ МЕХАНИКА, СТРОИТЕЛЬНЫЕ КОИСТРУКЦИИ

		. Гасаарян, С. А. Маргарян, Б. Ю. Гаспаряч, А. Г. Манцуарян. Импенлансные характористика общовных полых вызвочастотных звуковослочителей 2—25 Гаспарян, А. В. Аршакян, С. А. Маркарян Определение собственных частот низкочастотного резонаненого звукопослотителя с инутрепней па-
		целью на упругва саязях — 3-19
В.	H.	Дорофеев, О. К. Погосян. Методика постромяся региональ ок заатветиче-
		кан тэнэд сою охомониция и кож бока
P.	0	Саакян, Э. С. Саркасян Пагибно-крутильные колей резя к поструктивной
, de		системы при сейсмических ооздействинх
<i>C</i> .	0.	Хачатрян, Г. К. Мартикан Праконческий метед применения золновой година, применения золновой 3-15
		теории в пилачах сейсмолосии
		SUPPERTURA
		энергетика
		Авакимов, Г. А. Айранетян Т. П. Асатрян, Р. Д. Мираочи. Реализацыя противовваринной затоматик: макер энерг-тических систем на бизе микро. ЭВМ.
A	М.	микро ЭВМ — Варганян, Ю. А. Казарян, Г. Л. Веджанян, Об одном методе расчета
		потокораспределения больших газохранспортных систем 5-20
3,	4.	Этмехчян. Об одном методе расчета установнящегося режима электриче-
		еной системы 3—24
		вычислительная техника
-	_	
		Алмоян, Г. Г. Мирджинян, А. Г. Сафарян Г. А. Мартирогия Сравнительный апаляз принцина максимума. Понтрягина с методом градчента при оптимизации процесса парофазного спитеза аллилацетата
А,	В.	<i>Маркарян</i> . Модификация кодов Боута Чоудхури—Хокинотема 5 35
		VP 27 44 P1 (4 * 2 * 4 * 4 * 2 * 2 * 2 * 4 * 4 * 4 *
A		ТЕХНИЧЕСКАЯ КИБЕРНЕТИКА
71.	A	Мурадян, Современный многовариантный алгоритм комизновки и ряз- мещения 3—32
		мещения 3—32
		гидравлика, гидротехника
		1.4. 44. 1774 1477 (* 1.1141 1.111 1.21)
C.	A.	Ананян, В. С. Саркиенн. Прогноз качества пороных раствороз и группо-
		вых вод при применении ядохимакатов и удобрений . 3 37
P	.31	Баргегии. Фильтрация в деформируемых грунтах е учетом количества
		отжимиемой воды на границе слоя
P.		Барссеян, В. А. Сагателян, Задачь фильтрации в деформину мых сруптах
		с учетом изменения сооткопирши между фарими групта . 1-31
d.	4.	Михнюк, В. В. Цатрян, Т. Я. Гоцеридзе. Нелимейные изану ден.т иля поли
	_	при дабораторном моделировании нерегулярного волиения . 3-38
21	G.	Мегрибян, В. С. Саркисян. Спаредные откачки и пагнет гля для определе-
	,	иня фильтрационных свойств водоподыму власто з 2-40
		A PARTY AND A REPORT A RELIGIOUS AND A STATE OF A STATE AND A STATE OF A STAT
		АВТОМАТИЗАЦИЯ И СИСТЕМЫ УПРАВЛЕНИЯ
3	C	
Э.	C.	Аристюнян, А. А. Мирадхияни, Р. М. Тищиян. Спител установочной после-
		Аристюнян, А. А. Мирадхиява, Р. М. Тищиян. Спител установочной последовательности, для генерация тестов, дискретных устройсти с измятью 5—28
		Аристюнян, А. А. Мирадхинян, Р. М. Тищиян. Спител установочной последовательности для генерации тестов. дискретных устроисти к измятью 5—28 Марков. М. В. Марковии. А. С. Саздин, С. С. Горосяв. Определение обоб-
A.	A.	Аристюнян, А. А. Мирадхиява, Р. М. Тищиян. Спител установочной последовательности, для генерация тестов, дискретных устройсти с измятью 5—28
A.	A.	Аристюнин, А. А. Мирадхинян, Р. М. Тищиян. Спител установочной последовательности для генерации тектов дискретных устройсти к измятью 5-28 Марков. И. В. Маркинян А. С. Сандин, С. С. Торосяв. Определение обобщениях характеристик многофалых състем массолого обслуживания. 1—25

С.	B	Мурадян. Об одном подходе к определению целесообразного уровня вы- теграции автономных АСУ
C.	Б.	Оганджанян. Математическая модель проектируемой системы оптималь- ного спабжения с жиженным газом
		измерительная техника
В.	Ρ,	Варданян, В. В. Варданян, М. В. Варданян. Дифференциальный пьечо- метрический дагчик давления с частотным выходом
		матерналоведение
Ю	-4	Аветисяя, В. Г. Геров., И. Ю. Волосевия, О. А. Миртиян. Структурные азменения стали X18Н107 пон пиклическом деформировании с мягжим тигружением
		намчное приборостроение
n.	1	Карапетия. Определение отношения шум-сигнал в матричных фотоприем- никах на прибор к с зарядовой связью
		наминые заметки
		Аругюков, Т. А. Полчаожни. Определение закона допределения вороят- постей выходного параметра активноски винилометата 3—41 Вогаршакан, В. Г. Никогосян, Б. Б. Айранетян, А. Р. Матейоски. Двало- говыя система автоматизированного сбора и отображения технической па-
		формации :
		дипорования и высоксилстотном фотоэлементе 3—47 Зинасля. Стенд для венытания имеоковольтных тиристорных модулей 4—38
	- 11	Мирзоян, А. Л. Мирзоян. Капетаческий анализ принцаппальных схем об-
C		работки наружных роверхностей тел вращения
-	. <i>B</i>	диффузиовной зоне системы никель—алюминия
7	A	массового обслуживания
- 6	0	жонтуров : : 9—32 . Погосян. Проектирование вель ого механизма выдрами переменения 4-33
E	3. 0	. Токмиожян, Р. Г. Мартиросян. Перавномерное движение води в каналах с
- () 7	криволинейным очертанием профиля дна
1	X	. Тен. Б. Н. Тен. О ваняния факторов ноэлействия эксплуатапновных усло-
j	D. I	вин на надежность подинивниковых ужив АДММ
J	7 /	- швання
		 или путем исключения динамических реакций ликейич-подазливых опор 4—3;

604 854 840 46 80 45

Серения

U.	8. Կառակյաս։ Թեվերոսթային - Եր-ևց անխանիզմենրի դադմավարման ընդշանուր ակզբունքի մասին	3
	իլի և su անհրան	
	Ա. Կորապետյան, Գեգակերօգ անցույիային Հայ կանաքան հայալումամբ գույսը մակերեուլիային Հայ կանաքիան հայալումամբ Ա. Գարտյան, Է. Ա. Ֆրնգիթույյան, Վ. Ի. Կիտելյան <i>Ի</i> երհավար (չնկարամեքիանիկա	6
	դան Համակարգերի փառալցվածրային մարդչավորում 1 Մանուկյան, Դ. Կ. Սուֆաույան Վար Հգոյության առինքոն շարժիլների դիկամի փական ընությացրերի Հայվարեր	12
	इंक्शाव्यक्षित	
17.	T. Pearulagent: Dawbymade abgateh phintagheard நிறார் கிறுர் நிறா நகையோல் ஓடி தமையிர் வெறுவேயியாடு	21
	SPSHING SUPER	
	Հ. Զնանդուլյան։ հրամատային էրսկավատորները ռոտորային և շգրայական ———————————————————————————————————	27
9	վարդերի կատարելադործման ժառին . Հ. Դալյան, Հ. Վ. Գաւթինյան։ Բարդ եզրադծերի որեսակների մշակման որտեմաների	30
		32
-	 Իսքսազչան։ Կողային գրաքափի Դիդրավլբկան հաշվարկի մեքթորները 	11.5
	содержание	
	МАШИНОСТРОЕНИЕ	
C,	МАНИНОСТРОЕНИЕ Б. Гаранян Об паверсорных группах и общем по — не образования мехонизмов наверсоров	3
C.	В. Гаранян Об пиверсорных группах и общем пр — не образования мехо-	3
	Б. Гаранян Об пиверсорных группах и общем пр — не образования мехо- низмов инверсоров : : :	3
М,	В. Гараняя Об пиверсорных группах и общем пр — не образования мехо- низмов неверсоров	ú
M.	В. Гаранян Об пиверсорных группах и общем по дле образования мехонивнов инверсоров для притехника Влектротехника А. Карапетин Переходное влектрическог для и монодисперсной системе со сферондальными включениями при учете оверхностной проводимости С. Гамтян. Э. С. Фриджибашян. В. И. Читекля клупной моделирование автономных электромеханических систем для при тик аспихрон-	û 12
M.	В. Гаранян Об пиверсорных группах и общем пр — не образования мехонивмов инверсоров —	ú
M.	В. Гаранян Об пиверсорных группах и общем по дле образования мехонивнов инверсоров для притехника Влектротехника А. Карапетин Переходное влектрическог для и монодисперсной системе со сферондальными включениями при учете оверхностной проводимости С. Гамтян. Э. С. Фриджибашян. В. И. Читекля клупной моделирование автономных электромеханических систем для при тик аспихрон-	û 12
M. Al.	В. Гаранян Об пиверсорных группах и общем пр — не образования мехонизмов инверсоров —	û 12
M. Al.	В. Гаранян Об пиверсорных группах и общем пр — не образования мехонивмов инверсоров —	0 12 17
м. м. л.	В. Гараняя Об пиверсорных группах и общем пр — не образования мехо- низмов ниверсоров —	0 12 17
м. м. л.	В. Гаранян Об пиверсорных группах и общем пр — не образования мехонивнов инверсоров —	0 12 17
м. м. л.	В. Гаранан Об пиверсориых группах и общем по дле образования мехонизмов инверсоров Влектротехника А. Карапетин Переходное влектрическое или и монодисперсной системе со сфероидальными включениями при мете оверхностной проводимости С. Гамстян. Э. С. Фриджибашян. В. Н. Читемя влупной моделирование автономных электромеханических систем А. Манукан, Г. К. Сафарян. Расчет пишмя е из потритих аспихронных двигателей налой мощности ГИДРАВЛИКА М. Барсеели. Фильтрации в деформиру мых грунтих учитом количества отминяемой воды ин границу слои ИЛУЧНЫЕ ЗАМЕТКИ А. Джангулая Кипсматические параметры роторных пишк работих оборужований траниейных экскаваторов Б. Мурадан 11 совершенством им пинктимовных стим и ям оханного	ύ 12 17
M. M. J. J.	В. Гаранян Об пиверсориых группах и общем пр. — не образования мехонизмов инверсоров ——————————————————————————————————	û 12 17 21

ዩበቂዜъጥԱԿቨኮԹՅብኮՆ

ռությունություն	
և Ռ. Զավակսյան։ Տարրեր դորժոնների ադդեցության ուսուսնասիրությունը Հային ժանիպույլատորի չարժիչ ուժերի վրա Ա. Կ. Խեչումյան, Գ. Ս. Մաստիսույան, Ռ. Ս. Մաստիսույան։ — անգույցի անր	3
երկական վիճակի աղդացությամբ ժերհնամուսերի տեխնոլոցիական չափանիչ հերի վրա	2
าสสายแบบรากษาสการ	
B. Ա. Ավհակոյան, Վ. Գ. Գուբաչ, Պ. Յ. Վոչսսհիչ, Օ, Հ. Մկբա-լան։ Պողորան X18FIIOT-ի կառուցվածցային փոփոխությունները վշափուկ բեռնավորոնումը ցիկլային դեֆոր- մացման մամանակ	11
<u>ԵՆ</u> ԵՐԿԵՏԻԿՈ	
Gunt 10 atau	
II. If Վարդանյան, Տու. Հ. Վազարյան, Գ. Գ. Բեջանյան։ Գաղատրանապորաային մեծ Համակարդերի հոսցաբաժանժան հայվարկի ժեկ ժեթողի ժասին II Ավակիսով, Գ. Ա. Հայրապետյան, Ռ. Հ. Մայրադրան հեկարակեներդետիկական համակարդերի հակավմարդեր հավառմատիկայի հրադորձումը ՄԻԳՐԱՀՄ-ի կի	16
amangangh	20
ԿԱՌԱՎԱՐՄԱՆ ՀԱԾԱԿԱՐԳՆԻ	
Ա. վ. Փամբուիայուն, Լ. Ս. Կոստունյուն։ Երրարդ կեղծ ապարհուլ գեղավարժան - մակարդերի համադրումը ու գծային ծուսգրուվորմուն կիրառմումը Է. Ս. Հայությունյան, Ա. Ա. Մույարդակունչուն, Ո. Մ. Թույլան, Գրույիային հայորդակունության արևինեցումը փրորգակունության արևինեցումը փրորգակումների ունու	2.1
անրի համար Հ. Ռ. Մուսադյան։ Ինթեավար ԿԱՀ-երի ինտեցրացման նպատակա - ուր մակարդակը	28
aparties of densighting density	+1
շաժվողացուն չաններև	
U. d. Vinequering: Pania-Language - Landudy bet hogoph strumpular printer	3.
21 - ૧-૧૫ત્માન	
են, Ս, Միխնդուկ Վ. Թ Սատույան, Տ. Գ, Գոգեոիզե։ Այրթների որ գծային փոխազգնում Թյունները անկանան ալականմետն լարորատոր մողնքավորժ. և գետյրում	3:
ԴԵՏԱԿԱՆ ՍԱՐՔԱՇԻՆՈՒԹՅՈՒՆ	
Լ. Հ. հաշտողիայան։ Լիցջույին կապով ռաբբերով մատրիցային ֆոտոլնգունիրենրում աղ.	4

• МАШИНОСТРОЕНИЕ

 И Р Лжавахян Песледование плиящи различных факторов на движущие си- лы наитографного манинулитара А В Хенумян, Г С. Мартиросян, Р. С. Мартиросян, Влияние технического со- 	3
стояния шини тельного уки, на технологические нараметры летали -	7
4	
матерналоведение	
Ю. А Лосгисли, В. Г. Горбич, В. Ю Волосевич. О. А. Мкргчян. Структурные изменения стали X18111ОТ при пиклическом деформировании с мяским нагружением	11
ЭНЕРГЕТИКА	
 А. И. Нартанжи, Ю. 1. Казарян Г. Д. Беджанян. Об одном методу расчета потокораспределения больших газотранспортных систем. А. С. Авакимов, Г. 1. Айрапетян, Т. П. Асатрян, Р. Д. Мурадян Реализация противоаварийной втоматики электроэнергетических систем на базе 	11
янкро-ЭВМ	26
СИСТЕМЫ УПРАВЛЕНИЯ	
С. В Памбухчян, Л. С. Костанян Синтез квязионтимольных систем автоматического управления третьего порядка с применением нелинейного програм-	
мирования : : : Э. С. Аритинян, А. А. Мурадханян, Р. М. Тащиян. Спитез установочной после-	2-1
ловательности для генерации тестов лискретных устройсти с пимятью Г. Б. Мурадии. Об одном подходе к определению целесообразного уровня ин- теграции автономных АСУ	28
тегранин артономиях АСУ , , ,	31
вычислительная техника	
А. В. Маркарян. Модификация кадров Боуза-Чоудхури-Хокиштема	35
гидравлика	
.1—1 Михнюк, В Б_ Цитрян Т. Д. Гоцеридзе. Нелинейные изанмодействия воли при лабораториом моделировании нерегулярного колнения	38
плучное приборостроение	
Л. Г. Карапетян Определение атпошения шум сигнал я матричных фотопраем пиках на приборех с эпридовой связью	